

**UNIVERSIDADE ESTADUAL DO MARANHÃO  
CENTRO DE CIÊNCIAS AGRÁRIAS  
PROGRAMA DE PÓS-GRADUAÇÃO EM AGROECOLOGIA  
CURSO DE MESTRADO EM AGROECOLOGIA**

**RAFAEL MENDES DE SOUSA**

**EFICIÊNCIA DO USO DO NITROGÊNIO AFETADA PELOS INDICADORES  
FÍSICOS DO SOLO**

**São Luís – MA**

**2019**

**UNIVERSIDADE ESTADUAL DO MARANHÃO  
CENTRO DE CIÊNCIAS AGRÁRIAS  
PROGRAMA DE PÓS-GRADUAÇÃO EM AGROECOLOGIA  
CURSO DE MESTRADO EM AGROECOLOGIA**

**EFICIÊNCIA DO USO DO NITROGÊNIO AFETADA PELOS INDICADORES  
FÍSICOS DO SOLO**

**São Luís – MA**

**2019**

**RAFAEL MENDES DE SOUSA**

**Engenheiro Agrônomo**

**EFICIÊNCIA DO USO DO NITROGÊNIO AFETADA PELOS INDICADORES  
FÍSICOS DO SOLO**

Dissertação apresentada ao Programa de Pós-Graduação em Agroecologia da Universidade Estadual do Maranhão como parte das exigências para obtenção do título de Mestre em Agroecologia.

**Orientador: Prof. Dr. Emanoel Gomes de  
Moura**

São Luís – MA

2019

Sousa, Rafael Mendes de.

Eficiência do uso do nitrogênio afetada pelos indicadores físicos do solo /  
Rafael Mendes de Sousa.– São Luís, 2018.

48 f

Dissertação (Mestrado) – Curso de Agroecologia, Universidade Estadual do  
Maranhão, 2018.

Orientador: Prof. Dr. Emanoel Gomes de Moura.

1.Aléias. 2.Nutrição vegetal. 3.Qualidade do solo. I.Título

# **EFICIÊNCIA DO USO DO NITROGÊNIO AFETADA PELOS INDICADORES FÍSICOS DO SOLO**

Dissertação apresentada ao Programa de Pós-Graduação em Agroecologia da Universidade Estadual do Maranhão como parte das exigências para obtenção do título de Mestre em Agroecologia.

**RAFAEL MENDES DE SOUSA**

**Aprovado em:** \_\_\_\_\_ / \_\_\_\_\_ / \_\_\_\_\_

## **BANCA EXAMINADORA**

---

**Prof. Dr. Emanoel Gomes de Moura** (Orientador)

Universidade Estadual do Maranhão – UEMA

---

**Prof. Dr. Fabrício Oliveira Reis**

Universidade Estadual do Maranhão – UEMA

---

**Prof<sup>a</sup>. Dr<sup>a</sup>. Rosane Cláudia Rodrigues**

Universidade Federal do Maranhão - UFMA

São Luís – MA

2019

**DEDICO**

*Ao meu avô José Carlos Ferreira Mendes (in memoriam) por  
ter me ensinado, entre tantas coisas, a amar a agricultura.*

## AGRADECIMENTOS

A Deus pai, acima de tudo, por seu amor e infinita bondade transmitida a mim através das pessoas, bênçãos e acontecimentos ao meu redor. A minha família por todo o apoio, carinho e amor sem medidas. Aos meus amados pais **Raimundo Nonato de Souza e Irislene Mendes de Sousa**, que entre tantas coisas, me ensinaram a sonhar e a lutar por objetivos. Aos meus irmãos Raimundo Nonato de Sousa Júnior, Ilderlene Mendes de Sousa e Renata Mendes de Sousa por sua parceria e amor fraternal.

Aos meus queridos avós José Carlos Ferreira Mendes (*in memoriam*), Gilda Maria Amador Mendes e Francisca Lemos de Souza, pelo seu amor, apoio e oração. A todos os tios e primos pela ajuda, incentivo e palavras de perseverança.

Ao Prof. Dr. Emanoel Gomes de Moura pela disponibilidade de orientação, por todo apoio e ensinamentos compartilhados. À Prof. Dr<sup>a</sup>. Alana Aguiar por toda ajuda e incentivo a este trabalho. Às professoras Ana Maria Araújo e Alana das Chagas Ferreira Aguiar pelas contribuições na banca de qualificação e aos professores Fabrício Reis e Rosane Rodrigues pela disponibilidade e contribuições na banca de defesa. A toda a equipe do professor Emanoel pela ajuda e troca de experiências. Em especial ao Cézar, Rones, Virley, Vinícius, Stéfanny, Ivana, Karina, Tarcísio, Jéssica, Ferreira, Thales, Adriano, Patrick e Régia. Aos amigos da Agronomia/UEMA pelas boas conversas e pelos momentos descontraídos: Joisse, Francilene, Jhonatan, Rodrigo e Rafaela.

Aos agricultores da Vila União em Chapadinha pelo apoio e, em especial, à família do senhor Nenzinho e ao senhor Francinaldo, por toda a ajuda na condução do experimento, sem a qual não seria possível a realização deste trabalho e por sua receptividade e amizade. Aos alunos da Casa Familiar Rural de Chapadinha pelo acolhimento e ajuda durante o experimento e aos professores Joana, Anágila e Alberto por sua disponibilidade em ajudar. Ao mototaxista Francisval pela amizade construída durante as viagens para a Vila União. Também agradeço de todo o coração à Zuleide e aos senhores Francisco, Maria e Raimundo por todo o apoio e por sua amizade, que tornaram os dias de trabalho muito mais agradáveis.

À minha avó Francisca (mãezinha) por me acolher em sua casa durante o experimento, por sua tão agradável companhia e pelo seu incentivo à minha vida acadêmica. À minha prima Sandra Passos de Souza por sua parceria em Chapadinha, seu apoio e companhia que tanto me ajudaram neste período. Aos amigos de Chapadinha que sempre estiveram comigo torcendo e me apoiando ao longo desta jornada em especial ao Diogo,

Franciclaudio, Sâmia, Conceição e João Pedro que tanto me ajudaram nos trabalhos de campo. Aos meus colegas de graduação Dansley, Bruno, Igor, Sabrina, Francisca, Mayara, Luana e Nayara e aos colegas do PPGCA-UFMA, em especial à Neliane, Dayana, Elaine, André e Elane.

Ao professor João Reis e à técnica Kellen por sua grande ajuda nas análises de laboratório e por sua imensa prestatividade e compromisso. Ao professor Josael pelo apoio nas análises de física do solo, por sua dedicação e empenho em ajudar.

Às professoras Mariléia Barros Furtado e Francirose Shigaki pelo apoio nas atividades na UFMA. Aos meus colegas de mestrado Erivaldo, Ana Carolina, Flaviana, Mauriana, Régilla, Larisse, Larissa e Esther pela amizade e experiências compartilhadas. Aos amigos doutorandos em Agroecologia Rones, Francisneide (Neide), Silver, Luís, Marcelo, Carol, Raimundo, Leonardo e Stefanía pelo compartilhamento de conhecimento e pela amizade construída. Aos funcionários que trabalham no setor de solos da UEMA, em especial ao Neto, Néia, Rayane, Denise, Paulino, João, Maria, Luís e Alzanira, por sua amizade e por toda a ajuda durante o período de mestrado.

A todos os professores do Programa de Pós-Graduação em Agroecologia pelo conhecimento e experiências compartilhadas, de forma especial a Emanoel, Heder, Fabrício Francisca, Christoph e Tiago. À Universidade Estadual do Maranhão pela oportunidade de realizar um bom curso de mestrado e a CAPES pela disponibilidade de bolsa. A todos os amigos e colegas pela torcida, incentivo e oração

**MUITO OBRIGADO!**

## SUMÁRIO

<b>1 INTRODUÇÃO GERAL .....</b>	<b>13</b>
<b>2 REFERENCIAL TEÓRICO .....</b>	<b>14</b>
2.1 Solo e clima tropical .....	14
2.2 Indicadores físicos do solo .....	15
2.3 Compacidade do solo e enraizamento .....	16
2.4 Eficiência do uso dos nutrientes (EUN) .....	17
2.5 Matéria orgânica do solo .....	17
<b>REFERÊNCIAS BIBLIOGRÁFICAS .....</b>	<b>19</b>
<b>Introduction .....</b>	<b>23</b>
<b>Material and methods .....</b>	<b>24</b>
Location and characterization of the experimental area .....	24
Experimental Procedures .....	25
Efficiency indices and yield analysis.....	27
Samplings and soil analysis .....	28
<b>Results.....</b>	<b>29</b>
Soil quality physical indicators and their effects on corn yield.....	29
Leaf area index, absorption, remobilization and nitrogen use efficiency .....	31
Physical fractionation of organic matter and corn yield components in 2018 .....	33
<b>Discussion .....</b>	<b>34</b>
Soil physical indicators and their effects on maize productivity.....	34
Leaf area index, absorption, remobilization and nitrogen use efficiency in 2018.....	36
Physical fractionation of organic matter and corn yield components in 2018 .....	38
<b>Conclusions .....</b>	<b>39</b>
References .....	40

## **LISTA DE FIGURAS**

<b>Figure 1</b> Dry biomass of the tree legume combinations applied to the soil between years 2010 to 2018.....	26
<b>Figure 2</b> Penetration resistance after 7 days without rain at different depths.....	30

## LISTA DE TABELAS

<b>Table 1</b> Chemical characterization of tree legumes used for soil cover.....	25
<b>Table 2</b> Soil bulk density (DS), air capacity (AC) and total porosity (TP) (depth 0-20cm) in the experimental treatments.....	29
<b>Table 3</b> Yield of corn (2010-2014, 2017) and cassava (2015) ( $Mg\ ha^{-1}$ ) under different combinations of legume cover over the years.....	31
<b>Table 4</b> Leaf area index (LAI), nitrogen at tasseling (NT), nitrogen remobilized (NR), nitrogen post-tasseling (NPT), nittogen in grain (NG), total nitrogen (TN) and contribuction to the utilization of nitrogen (NC) in corn under different legume coverages.....	32
<b>Table 5</b> Organic nitrogen use efficiency (ONUE, %), inorganic nitrogen use efficiency (INUE, %.) and nitrogen agronomic efficiency (EA, $Kg\ ha^{-1}$ ) in corn under different legume coverages.....	32
<b>Table 6</b> Mass of particulate fraction (MPF), particulate organic carbon (POC), organic carbon associated with minerals (COM), total organic carbon (TOC) and carbon stock (CS) of soil organic matter separated by physical fractionation in the 0-10 cm depth.....	33
<b>Table 7</b> Weigth of ear (WE), number of grains ear (NGE), weight of 100 grains and weight of grains (WG) of corn in the treatments.....	34

# **EFICIÊNCIA DO USO DOS NUTRIENTES AFETADA PELOS INDICADORES FÍSICOS DO SOLO**

---

**CAPÍTULO 1**

## 1 INTRODUÇÃO GERAL

Na periferia da Amazônia brasileira uma combinação de fatores reduz a eficiência do uso dos nutrientes. Um deles é a coesão, causada por ciclos repetidos de umedecimento e secagem em solos com baixos níveis de ferro livre e carbono orgânico, o que reduz o volume de exploração do solo pelas raízes. Outro fator é a alta taxa de remoção de nutrientes do perfil devido à lixiviação e à baixa retenção de cátions (MOURA *et al.*, 2010).

O manejo sustentável destes solos requer técnicas diferenciadas devido às suas características e as condições ambientais predominantes. Os trópicos caracterizam-se pela intensa incidência de radiação solar, elevada pluviosidade, altas temperaturas e elevadas taxas de evapotranspiração, condições estas que dificultam o adequado uso dos nutrientes e o aumento da produtividade. Assim, torna-se necessário aumentar a eficiência do uso dos nutrientes para melhorar a sustentabilidade agrícola dos trópicos (MOURA *et al.*, 2013).

A eficiência do uso dos nutrientes pode ser definida como a produtividade obtida por unidade de fertilizante aplicado (MOURA *et al.*, 2012). Este conceito está baseado no ideal de produzir mais em uma menor área, aumentando a eficiência do sistema. Para tanto, nas condições tropicais, é preciso manejear o solo de modo a aumentar a disponibilidade de nutrientes por meio de maior retenção de cátions e da redução das perdas por lixiviação, escorramento superficial e erosão, as quais são comuns nestas regiões (MUSYOCÁ *et al.*, 2017).

O aumento da disponibilidade de nutrientes pode ser conseguido por meio do manejo da matéria orgânica do solo. Esta, por sua vez, aumenta a capacidade de troca de cátions, melhora a retenção de umidade, reduz a densidade do solo, estabiliza a temperatura e favorece o desenvolvimento dos microorganismos do solo (COELHO *et al.*, 2016). A matéria orgânica do solo auxilia na formação de uma estrutura efêmera capaz de melhorar a capacidade de aeração e fornecer um ambiente adequado ao desenvolvimento das raízes podendo aumentar, por consequência, a eficiência do uso dos nutrientes. Desta forma, acredita-se que os indicadores físicos do solo, tais como a resistência à penetração e capacidade de aeração, possam afetar a eficiência do uso dos nutrientes pelas culturas.

Existem diversas tecnologias que podem ser usadas para o manejo da matéria orgânica (COELHO *et al.*, 2016). O sistema de cultivo em aléias representa uma destas tecnologias, sendo caracterizado como o plantio de árvores ou arbustos, normalmente leguminosas, de diferentes qualidades de resíduos. Seus ramos são periodicamente cortados e depositados sobre o solo promovendo a sua cobertura e reciclagem de nutrientes. Entre as

fileiras de leguminosas são conduzidos os cultivos anuais que são beneficiados pelos efeitos positivos dos resíduos depositados no solo (OLIVEIRA *et al.*, 2016).

Considerando os benefícios da matéria orgânica sobre a estrutura do solo e, consequentemente, sobre o aumento da eficiência do uso dos nutrientes, é esperável a adoção de manejos que priorizem a sua produção e manutenção no solo. Nas regiões tropicais, especificamente, a adoção destes manejos é um desafio a ser enfrentado.

## **2 REFERENCIAL TEÓRICO**

### **2.1 Solo e clima tropical**

Os solos tropicais caracterizam-se, sobretudo, como solos antigos, com mineralogia composta principalmente por caulinita. Tratam-se de solos intemperizados, com baixa concentração de ferro livre e de carbono orgânico. Alguns destes solos podem apresentar grande propensão à coesão, tornando-se muito densos quando secos (MOURA *et al.*, 2012). Muitos fatores ambientais típicos do trópico úmido, tais como umidade, disponibilidade de oxigênio e de nutrientes no solo e também altas temperaturas, aceleram a decomposição da matéria orgânica, tornando difícil o manejo destes solos com vista a aumentar a sua fertilidade (MOURA *et al.*, 2013).

Existem dois processos principais que são responsáveis pela baixa disponibilidade de nutrientes no trópico úmido. Primeiro a lixiviação dos nutrientes causada pelo intenso movimento da água ao longo do perfil e, segundo, a coesão do solo que quando seco dificulta o crescimento das raízes e a absorção de nutrientes, o que culmina em baixa produtividade (AGUIAR *et al.*, 2010). Assim, para aumentar a produtividade desses solos é necessário incrementar o conteúdo de carbono via aplicação de resíduos orgânicos. A importância do carbono orgânico do solo tem sido muito relatada na literatura (DAS *et al.*, 2016; OMARI *et al.*, 2016; BHARALI *et al.*, 2017; FORTE *et al.* 2017). Sua manutenção é vital para a continuidade da produção e sustentabilidade dos sistemas agrícolas ao longo prazo (DAS *et al.*, 2016).

A matéria orgânica desempenha efeitos positivos sobre a estrutura do solo, pois o aumento do seu conteúdo também potencializa a atividade biológica, contribuindo para uma maior estabilidade dos agregados (ZHU *et al.*, 2016). Fungo *et al.* (2016) reportam que a adubação verde com materiais mais recalcitrantes pode promover no solo efeitos mais duradouros e que a umidade do solo, bem como, substâncias extraídas de plantas e a fauna influenciam a estrutura do solo e a formação de agregados. Nesse sentido, a cobertura do solo

pode ser vista como uma alternativa válida de uso do solo devendo-se, entretanto, considerar também a qualidade dos resíduos adicionados. Quando estes resíduos apresentam baixa relação C: N e baixa concentração de lignina e polifenóis, são mineralizados rapidamente, e são classificados como resíduos de alta qualidade, ao passo que, os resíduos mais recalcitrantes, com elevada relação C: N e altas concentrações de lignina e polifenóis são mineralizados lentamente, sendo mais indicados para a manutenção da cobertura do solo e são classificados como resíduos de baixa qualidade. Desta forma, a cobertura do solo e a reciclagem de nutrientes são importantes para o manejo dos solos de muitas regiões tropicais, os quais requerem combinações adequadas de resíduos vegetais (AGUIAR *et al.*, 2010 a).

Em condições tropicais a decomposição dos resíduos de alta qualidade de leguminosas arbóreas pode promover um suprimento adequado de N e K. Assim, a combinação de espécies para cobertura do solo, que fornece resíduos de baixa e alta qualidade pode representar uma estratégia eficiente no aumento do crescimento radicular e no fornecimento de macronutrientes ao longo do ciclo da cultura (AGUIAR *et al.*, 2010 a).

## 2.2 Indicadores físicos do solo

A qualidade do solo está basicamente relacionada às suas funções que, por sua vez, determinam a sua habilidade em fornecer e suportar ecossistemas e serviços ecossistêmicos, os quais têm sido ligados ao bem-estar humano, porém, muitas vezes nos deparamos com dificuldades em quantificá-la (CORSTANGE *et al.*, 2017). Essa quantificação pode ser realizada a partir de parâmetros aplicados à qualidade física do solo, os quais podem ser divididos em indicadores de capacidade e indicadores de intensidade. Os indicadores de capacidade definem um *status* geral do solo, por exemplo, a composição de um dado volume, mas não a sua estrutura interna e função, enquanto os indicadores de intensidade incluem aspectos dinâmicos sobre tempo e espaço e também abrangem a quantificação da funcionalidade, bem como reações ou processos dos sistemas nas dadas condições ambientais. Os primeiros incluem, por exemplo, a densidade do solo e a capacidade de aeração e os segundos, a resistência mecânica (BERGAMIN *et al.*, 2015).

A densidade do solo é definida como a razão entre a massa do solo seca e a unidade de volume do solo e corresponde a um indicador que reflete a resistência mecânica do solo ao crescimento das raízes. A capacidade de aeração é definida como a diferença entre o conteúdo de água volumétrica saturada e o conteúdo de água na capacidade de campo (BAGARELLO *et al.*, 2008). Aguiar *et al.* (2010 b) constataram que indicadores como

densidade do solo, porosidade total e capacidade de aeração são alterados mediante a aplicação de resíduos de leguminosas arbóreas. Estes autores destacaram entre os indicadores, a capacidade de aeração como de particular importância, já que esta tem efeito direto sobre a respiração das raízes. Moura *et al.* (2009) observaram melhorias na camada superior do solo mediante a aplicação superficial de resíduos de leguminosas de baixa qualidade, como o resultado do incremento do volume de solo disponível para o crescimento das raízes. O que leva a considerar que o efeito residual das leguminosas pode melhorar os indicadores de qualidade do solo.

A aplicação de resíduos vegetais no longo prazo pode modificar as propriedades físicas como resultado da contínua aplicação. O aumento da fração leve da matéria orgânica promove a formação de uma estrutura efêmera que melhora a capacidade de infiltração de água no solo, contribuindo para um crescimento radicular adequado (MOURA *et al.*, 2012). Cherubin *et al.* (2017) observaram no longo prazo um aumento da compacidade do solo e um decréscimo da capacidade de aeração com a conversão da vegetação nativa em pasto, o que sugere que o manejo inadequado do solo pode ter efeito significativo sobre a capacidade de aeração e, por consequência, afetar o crescimento vegetal e, consequentemente, a capacidade de absorção de nutrientes.

### **2.3 Compacidade do solo e enraizamento**

As características físicas do solo interferem diretamente na produtividade e desempenho de qualquer cultura. A compacidade do solo é uma das mais importantes destas características e está relacionada à capacidade de exploração do solo pelo sistema radicular. Quanto mais denso ou compactado for o solo maior será a resistência à penetração (PAULUCIO *et al.*, 2014).

No cultivo do milho em solo compactado é comum que as plantas desenvolvam sistema radicular com maior desenvolvimento lateral em virtude da existência de uma camada de impedimento no solo. Como consequência, as plantas podem desenvolver-se de forma retardada, apresentando baixa estatura e com severa perda da capacidade produtiva (CALONEGO *et al.*, 2011). O aumento da densidade do solo pode resultar no fornecimento de ambiente anaeróbico para as raízes. O decréscimo no desempenho ocorre como resultado da redução da respiração e da capacidade de absorção do sistema radicular. Um ambiente anaeróbico também pode surgir em solos que permanecem alagados durante certo período em virtude da presença de camada compactada (SANTOS *et al.*, 2015).

## 2.4 Eficiência do uso dos nutrientes (EUN)

A Eficiência do uso dos nutrientes é um importante fator para o manejo bem sucedido dos solos propensos à coesão e sujeitos à lixiviação, que são comuns no trópico úmido (MOURA *et al.*, 2013). Esta eficiência pode ser definida como a produtividade alcançada por unidade de fertilizante aplicado (MOURA *et al.*, 2012).

As condições do solo apresentam correlação positiva com a eficiência do uso dos nutrientes (MOURA *et al.*, 2010). A capacidade de enraizamento no perfil afeta o potencial de absorção dos nutrientes e este potencial pode ser melhorado pelo uso dos resíduos vegetais como cobertura do solo (MOURA *et al.*, 2010; AGUIAR *et al.*, 2010 b). Práticas de cobertura do solo e reciclagem de nutrientes são cruciais para o adequado manejo dos solos de estrutura frágil, os quais são bastante representativos de muitas regiões dos trópicos e que devem ser manejados mediante a combinação ótima de resíduos de plantas, sendo comum o uso de leguminosas (AGUIAR *et al.*, 2010 b).

A adequada reciclagem de nutrientes pode prolongar os efeitos da adubação e calagem no sistema de cultivo em aléias (MOURA *et al.*, 2010). O suprimento de nutrientes adequado ao crescimento vegetal, conseguido por uma eficiente decomposição de resíduos e consequente liberação de nutrientes é primordial na fase de crescimento do cultivo (MOURA *et al.*, 2010).

## 2.5 Matéria orgânica do solo

Nos ecossistemas terrestres existe uma forte correlação entre a matéria orgânica do solo (MOS) e diversos processos químicos, físicos e biológicos. A matéria orgânica influencia de modo marcante a estrutura do solo, a taxa de infiltração e retenção de água, a atividade biológica, a capacidade de troca catiônica, a disponibilidade de nutrientes, dentre outros processos (PRADO *et al.*, 2016).

Os materiais mais recalcitrantes, tais como, detritos lenhosos também podem produzir concentrações significativas de MOS. Em ecossistemas florestais estes detritos são fonte de matéria orgânica e húmus para o solo (MAGALHÃES *et al.*, 2017). Assim, em sistemas agroflorestais os restos de galhos e ramos mais grosseiros também podem possivelmente contribuir para o aumento da MOS (MAGALHÃES *et al.*, 2017). As raízes do solo também podem contribuir significativamente nesse sentido. Essas raízes crescem e se decompõem no solo proporcionando a ciclagem de nutrientes e uma contribuição para a formação de matéria orgânica no solo (PRANSISKA *et al.*, 2017). Portanto, o crescimento

radicular vigoroso de culturas pode melhorar as condições do solo pelo aumento da matéria orgânica.

As frações da matéria orgânica podem ser quantificadas por métodos químicos ou físicos, dependendo do propósito da investigação. Os métodos físicos envolvem a separação dos constituintes da matéria orgânica de acordo com sua densidade relativa (densimetria). Existem basicamente duas frações bem conhecidas: a particulada e a oclusa. A primeira é uma importante fonte de nutrientes lábeis para as plantas, apropriada à rápida mineralização, enquanto a fração oclusa está associada com partículas minerais do solo, formando complexos organominerais. Contudo, mesmo a acumulação da fração oclusa depende de uma entrada da fração particulada e, dessa forma, a atividade dos organismos do solo e a relação C/N pode ser utilizada para se fazer inferências a respeito da qualidade do solo. A taxa de degradação da matéria orgânica exerce forte influência sobre a ciclagem de nutrientes como o nitrogênio e, por consequência, sua disponibilidade às plantas (PRADO *et al.*, 2016).

## REFERÊNCIAS BIBLIOGRÁFICAS

- AGUIAR, A. C. F.; BICUDO, S. J.; SOBRINHO, J. R. S. C.; MARTINS, A. L. S.; COELHO, K. P.; MOURA, E. G. Nutrient recycling and physical indicators of an alley cropping system in a sandy loam soil in the pre-amazon region of brazil. **Nutrient cycling agroecosystem**, p. 189- 198. Doi: 10. 1007/s10705009. 2010 (b).
- AGUIAR, A. C. F; FREITAS, I. D.; CARVALHO, C. S.; MONROE, P. H. M; MOURA, E. G. M. Efficency of in agrosystem designed for familiy farming in the pré-amazon region. **Renewable agriculture and food systems**. Cambridge University. Doi: 10.1017/s17421705. 2010 (a).
- BAGARELLO, V.; GIANGROSSO, A.; LOVINO, M.; SGROI, A. Soil physical quality in a Sicilian agricultural area. **Ciheam: options méditerranéennes**, p. 235-243, n. 84, 2008.
- BERGAMIN, A.; VITORINO, A. C. T.; SOUZA, F. R.; VENTUROSO, L. R.; BERGAMIN, L. P. P.; CAMPOS, M. C. C. Relationship of soil physical quality parameters and maize yield in a Brazilian oxisoil. **Chilean journal of agricultural**, v. 75, n. 3, 2015.
- BHARALI, A.; BARUAH, K. K.; BHATTACHARYYA, P.; GORH, D. Integrated nutrient management in wheat grown in a northeast India soil: Impacts on soil organic carbon fractions in relation to grain yield. **Soil & tillage research**, n. 168, p. 81-91. 2017.
- CALONEGO, Juliano Carlos; GOMES, Thiago Carneiro; SANTOS, Carlos Henrique dos; TRITAN, Carlos Sérgio. Desenvolvimento de plantas de cobertura em solo compactado. **Biosci. j.**, Uberlândia, v. 27, n. 2, p. 289-296, Mar./Apr. 2011.
- CHERUBIN, M. R.; KARLEN, D. L.; FRANCO, A. L. C.; TORMENA, C. A.; CERRI, C. A. D.; CERRI, C. C. Soil physical quality response to sugarcane expansion in Brasil. **Geoderma**. 267. (2017) 156 – 168.
- COELHO, M. J. A.; AGUIAR, A. C. F.; SENA, V. G. L.; MOURA, E. G. M. Utilization and fate of phosphorus of different sources applied to cohesive soil of amazon periphery. **Scientia agricola**. 10. 1590/1678992x (2016).
- CORSTANGE, R.; MERCER, T. G.; RICKSON, J. R.; DEEKS, L. K.; NEWELL-PRICE, P. HOLMAN, I; KECHAVARSI, C; WAIN, T. W. Physical soil quality indicators for monitoring Brith soils. **Copernicus publication on behalf of european geosciences union**, v.8, p. 1003-1016, 2017.

- DAS, B.; CHAKRABORTY, D.; SINGH, V. K.; AHMED, M.; SINGH, A. K.; BARMAN, A. Evaluating fertilization effects on soil physical properties using a soil quality index in an intensive rice-wheat cropping system. **Pedosphere**. 26(6): 887–894. Doi: 10.1016/S1002-0160. 2016.
- FORTE, A.; FAGNANO, M.; FIERRO, A. Potential role of compost and green manure amendment to mitigate soil ghgs emissions in mediterranean drip irrigated maize production systems. **Journal of environmental management**. 192 p. 68 e78. 2017.
- FUNGO, B.; LEHMANN, J; KALBITZ, K.; THIONGO, M.; OKEYO, I.; TENYWA, M.; NEUFELDT, H. Aggregate size distribution in a biochar amended tropical ultisol under conventional hand-hoe tillage. **Soil & tillage research**. 165. p. 190-197. 2016.
- MAGALHÃES, T. M. Carbon stocks in necromass and soil pools of a Mozambican tropical dry forest under different disturbance regimes. **Biomass and bioenergy**, v.105, p.373-380, 2017.
- MOURA, E. G. M.; SERPA, S. S.; SANTOS, J. G.D.; SOBRNHO, J. R. S. C.; AGUIAR, A. C. F. Nutrient use efficency in alley cropping systems in the amazon periphery. **Plant soil**. Doi: 10.1007/s11110401. 2010.
- MOURA, E. G.; MOURA, N. G.; MARQUES, E. S.; PINHEIRO; K. M.; SOBRINHO, J. R. S. Evaluating chemical and physical quality indicators for a structurally fragile tropical soil. **Soil use and management**. Doi: 10.1111/j.1475-2743. 2009.
- MOURA, E. G.; SENA, V. G. L.; CORRÊA, M. S.; AGUIAR, A. C. F. The importance of an alternative for sustainability of agriculture around the periphery of the amazon rainforest. **Recent patents on food, nutrition & agriculture**, p. 70-78, 2013.
- MOURA, E. G; OLIVEIRA, A. K. C.; COUTINHO, G.; PINHEIRO; K. M; AGUIAR, A. C. F. Management of a cohesive tropical soil to enhance rootability and increase the efficiency of nitrogen and potassium use. **Soil use and management**. Doi: 10.1111/j. 1475 – 2743. 2012.
- MUSYOKA, W. M.; ADAMTEY, N.; MURIOKI, A. W.; CADISCH, G. Effect of organic on nitrogen use efficiency of potato, maize and vegetables in the central highlands of Kenya. **European journal of agronomy**.1161-0301. 2017.
- OLIVEIRA, V. R.; SILVA, P. S. L.; PAIVA, H. N.; PONTES, F. S. T.; ANTÔNIO, R. P.. Growth of arboreal leguminous plants and maize yield in agroforestry systems. **Revista árvore**. Viçosa, MG, v. 40, n. 4, p. 679-688, 2016.

- OMARI, R. A.; AUNG, H. P.; HOU, M.; YOKOYAMA, T.; ONWONA-AGYEMAN, S.; OIKAWA, Y.; FUJII, Y.; BELLINGRATH-KIMURA. Influence of different plant materials in combination with chicken manure on soil carbon and nitrogen contents and vegetable yield. **Pedosphere**. Soil Science Society of China. Doi:10.1016/S1002-0160 p. 510–521, 2016.
- PAULÚCIO, F. F.; PEREIRA, R. S.; RIBEIRO, E. S.; ZAMBRZYCKI, G. C.; SOUZA, R. A. T. de M. Avaliação da compactação do solo em área de cerrado sensu stricto através do mapeamento da resistência à penetração. **Biodiversidade**, v.13, n.1, p.51, 2014.
- PRADO, M. R. V. ; RAMOS, F. T.; WEBER, O. L. do S.; MULER, C. B. Organic carbon and total nitrogen in the densimetric fractions of organic matter under different soil management. **Caatinga**, Mossoró, v. 29, n. 2, p. 263 – 273, abr. – jun., 2016.
- PRANSISKA, Y.; TRIADIATI, T.; TJITROSOEDIRJO, S.; HERTEL, D.; KOTOWSKA, M. M. Forest conversion impacts on the fine and coarse root system, and soil organic matter in tropical lowlands of Sumatera (Indonesia). **Forest ecology and management** 379 (2016) 288–298.
- SANTOS, M. H. F. dos; RIBON, A. A.; FERNANDES, K. L.; SILVA, O. C. C. da; OLIVEIRA, L. C. de; SILVA, A. A. da. Estimativa da compactação através da resistência do solo a penetração em solo sob diferentes culturas e mata nativa. **Revista científica eletrônica de agronomia**. n. 27. jul. 2015.
- ZHU, Z.; ANGERS, D. A.; FIELD, D. J.; MINASNY, B. Using ultrasonic energy to elucidate the effects of decomposing plant residues on soil aggregation. **Soil & tillage research**. 167. 2016.

## **NITROGEN USE EFFICIENCY AFFECTED BY SOIL PHYSICAL INDICATORS**

---

### **CAPÍTULO II**

Artigo escrito de acordo com as normas da revista *Acta Scientiarum. Agronomy*

1                   **Nitrogen use efficiency affected by soil physical indicators**

2  
3                   **ABSTRACT.** Maintenance of soil coverage can be a valid alternative for reduction of  
4 compactness and leaching of nutrients in tropical soils. Nitrogen use efficiency (NUE) can be  
5 defined as the ratio between the productivity reached and the nitrogen dose applied. Alley  
6 cropping system with tree legumes may be a suitable management option to increase  
7 the NUE. The objective of this work was to evaluate the effect of the use of residues of tree  
8 legumes on the NUE and its relation with physical indicators of soil quality. The experiment  
9 was carried out in an alley cropping system implanted in 2009 in the eastern region of  
10 Maranhão, Brazil. Two tree species of high quality of residues were planted: leucaena and  
11 gliricidia and two tree species of low quality of residues: clitoria and acacia. Between the  
12 years 2010 to 2018 corn was sown between the rows of tree legumes and under its straw. In  
13 2018, 10 treatments were established, which consisted of combinations of legumes with or  
14 without urea fertilization. Doses of the legume combinations were determined to provide 150  
15 kg N ha<sup>-1</sup> via vegetables residues. Corn plants were collected at tasseling and maturity to  
16 determine the N content and NUE calculation. After harvest soil samples were collected with  
17 volumetric ring and the penetration resistance was determined with a digital  
18 penetrometer. Among the physical indicators of soil quality only the penetration resistance  
19 indicated differences between treatments, with the highest values in the control treatments. In  
20 general, the control treatments presented lower nitrogen accumulation and lower nitrogen use  
21 efficiency, as a result of the greater compactness of the soil and lower organic matter  
22 contents. Ground cover with tree legumes residues increases the nitrogen accumulation and  
23 nitrogen use efficiency through improvements in soil physical characteristics.

24                   **Keywords:** Alley, plant nutrition, soil quality.

25

26                   **Introduction**

27                   In the humid tropics, environmental conditions and slash-and-burn agriculture  
28 lead to rapid soil nutrient loss and, as a consequence, low fertilizer efficiency, which  
29 contributes to the persistence of poverty and food insecurity (Leite et al., 2016). Due to the  
30 importance of nitrogen for agriculture, as a nutrient indispensable to photosynthesis, amino  
31 acid composition and linked to vegetative growth, nitrogen fertilization has been receiving  
32 interest from the scientific community due to the high nutrient losses in agricultural systems,  
33 generating financial costs and environmental problems (Du et al., 2016). Due to the great  
34 dynamics of nitrogen in the environment, farmers and researchers have sought ways to

35 increase the rational effect of nitrogen fertilization. From this concern, comes the concept of  
36 nitrogen use efficiency, which is defined as the ratio between crop yield and nitrogen  
37 supply (Dawson et al., 2008) and its increase has been a constant objective to be achieved in  
38 sustainable agricultural systems.

39 The soil physical indicators can have an effect on the nitrogen use efficiency,  
40 since they affect the root growth and, therefore, the nutrients potential absorption. These  
41 indicators include aeration capacity and penetration strength. Root growth is indirectly  
42 proportional to penetration strength and it is defined that values between 1.0 and 3.5 MPa  
43 restrict root growth (Blainski et al., 2008). However, physical problems can be mitigated by  
44 improvements in the root environment, which can be achieved in no-tillage systems. These  
45 systems protect soil against rainfall impacts, reduce evaporation and promote the formation of  
46 unstable aggregates by increasing the free fraction of soil organic matter (Moura et al., 2016).

47 Alley cropping system is a planting system in which trees, usually leguminous,  
48 are combined with agricultural crops. At the time of cultivation, branches and leaves of the  
49 leguminous are deposited on the soil surface and on the straw the crop is sown (Oliveira et al.,  
50 2016). According to Moura et al. (2010), the alley cropping system with legumes should  
51 provide adequate levels of residues in order to allow good soil cover between the lines while  
52 maintaining or increasing the concentration of nutrients in the root zone.

53 Although much is known about the effects of organic matter on improving soil  
54 quality, the reasons that explain these effects under tropical conditions are not yet fully  
55 understood. Thus, we aim with the present study to evaluate the effect of soil cover, in alley  
56 cropping system, on the nitrogen use efficiency. Our hypothesis is that the successive  
57 application of legume residues in the system is able to increase the nitrogen use efficiency in  
58 response to its positive effect on the physical characteristics of the soil and on the content of  
59 organic matter.

60

## 61                   **Material and methods**

62

### 63                   **Location and characterization of the experimental area**

64 The study was carried in the settlement Vila União, located in the Chapadinha -  
65 MA, Brazil ( $3^{\circ}44'30''S$  and  $43^{\circ}21'37''W$ ) between the years 2010 and 2018. The region is  
66 under semi-humid equatorial climate, with average temperature of  $29^{\circ}C$  and maximum of  
67  $37^{\circ}C$  to 110 m of sea level. The rainy season occurs between december and may. The soil of

the experimental area is classified as Arenic Hapludult with 200 g kg<sup>-1</sup> of coarse sand, 480 g kg<sup>-1</sup> of fine sand, 70 g kg<sup>-1</sup> of silt and 260 g kg<sup>-1</sup> of clay and has been cultivated in recent years under no-till system under the arboreal leguminous straw. A surface liming with 1 Mg ha<sup>-1</sup> of dolomitic limestone with 279 and 78 kg ha<sup>-1</sup> of Ca and Mg, respectively, in the experimental area was performed, followed by a phosphating with 300 kg ha<sup>-1</sup> of triple superphosphate, before planting of arboreal leguminous for the establishment of the alley cropping system. In 2017 was applied in the experimental area 1 Mg ha<sup>-1</sup> of agricultural gypsum to increase the calcium content in the root zone without increase soil alkalinity.

Alley cropping system was installed in the experimental area in 2009 with spacing of 4.0 m x 0.5 m. Two arboreal species with high quality of residues were planted: leucaena (*Leucaena leucocephala* (Lam.) de Wit) and gliricidia (*Gliricidia sepium* (Jacq.) Kunth ex Walp) and two low - quality tree species: clitoria (*Clitoria fairchildiana* R. Howard) and acacia (*Acacia mangium* Willd), combined in parallel rows so that each parcel received the two residues simultaneously. Its chemical characterization is presented in Table 1. The experimental design for the system was randomized blocks with five treatments: clitoria + leucaena (CL); acacia + leucaena (AL); clitoria + gliricidia (CL); acacia + gliricidia (AG) and control (without leguminous) (T) and eight replications, with plots of 40 m<sup>2</sup>.

85

**Table 1** Chemical characterization of tree legumes used for soil cover.

Legumes	C/N	N	P	K g kg <sup>-1</sup>	Ca	Mg
Leucaena	11,48	43,53	2,71	6,72	3,80	3,69
Gliricidia	13,51	37,01	1,48	4,62	3,26	2,33
Clitoria	18,38	27,21	3,15	5,89	3,75	2,39
Acacia	23,45	21,32	2,57	4,22	2,99	2,09

87 Author: Souza (2013)

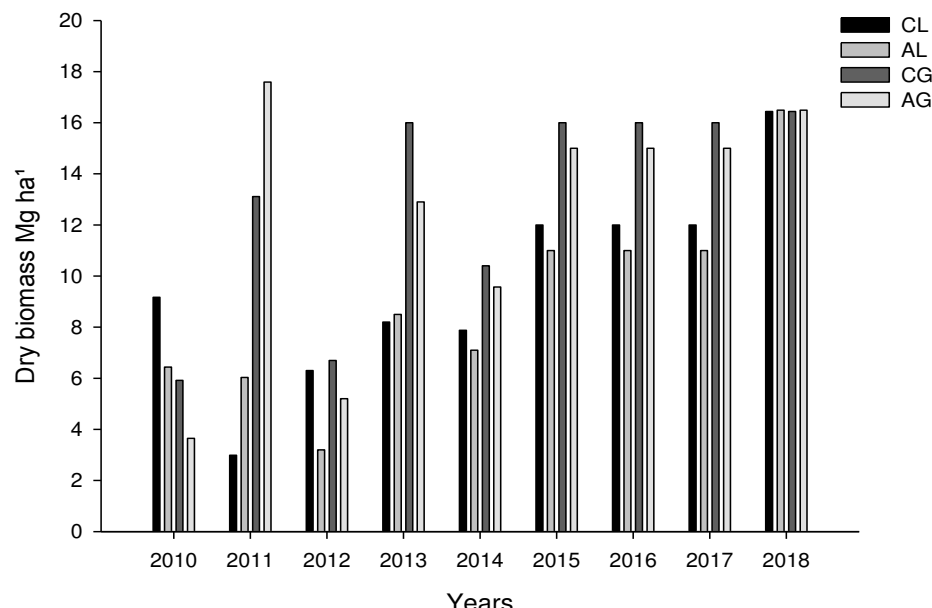
88

89

### Experimental Procedures

At the beginning of the rainy season of the years 2010-2014 and 2017 the leguminous trees were pruned 50 cm above the soil surface. The branches and leaves were cut and weighed, so that the total nutrient content of the biomass could be estimated later. On the straw of legumes, corn was sown. The treatments received between 2010 and 2014 average doses of leguminous equivalent to 6.1; 6.3; 10.4 and 9.6 Mg ha<sup>-1</sup> for the treatments CL, AL, CG and AG respectively (Figure 1). In 2017 and 2018 the doses of the leguminous

96 combinations ranged from 11 to 16 Mg ha<sup>-1</sup> in order to provide a supply between 100 and 150  
 97 kg N ha<sup>-1</sup> via leguminous residues, respectively.



98

99 **Figure 1** Dry biomass of the tree legume combinations applied to the soil between years 2010  
 100 to 2018.

101

102 In 2018, just after the cutting and application of the biomass to the soil, the  
 103 corn (cultivar 30f35 Pionner) was sown in the spacing of 0.90 m x 0.20 m. The planting  
 104 fertilization consisted of the application of 100 kg ha<sup>-1</sup> of P<sub>2</sub>O<sub>5</sub> and 60 kg ha<sup>-1</sup> of K<sub>2</sub>O,  
 105 using triple superphosphate and potassium chloride sources. At planting, only selected plots  
 106 received 60 kg ha<sup>-1</sup> of N via urea. In the both four and eight-leaf stage fully developed, two  
 107 nitrogen fertilization of coverage was performed employing a total of 70 k g ha<sup>-1</sup> N via urea,  
 108 only in plots that received N at planting.

109 For this, in 2018, four plots of each treatment were randomly selected to be  
 110 fertilized with nitrogen in the planting and covering, in order to compose a randomized block  
 111 experiment with ten treatments and four replications. The treatments consisted of the  
 112 combinations of leguminous with or without urea: clitoria, leucaena with  
 113 urea (CLU); clitoria and leucaena (CL); acacia, leucaena with urea (ALU); acacia and  
 114 leucaena (AL); clitoria, gliricidia with urea (CGU); clitoria and gliricidia (CG); acacia,  
 115 gliricidia with urea (AGU); acacia and gliricidia (GA); control with urea (TN)  
 116 and control (T). The doses of the leguminous combinations were determined to provide 150  
 117 kg N ha<sup>-1</sup> via vegetables residues.

118

119                   **Efficiency indices and yield analysis**

120                   Tissue analyses of corn plants were carried out in 2018. Leaf area indices, dry  
 121 matter and N content were determined in the tasseling and maturity stage. The leaf area indice  
 122 (LAI) was obtained through the area of each leaf using the formula  
 123  $0.75 \times \text{length} \times \text{width}$ . The values of length and width were obtained from biometric  
 124 measurements of leaves of ten plants randomly selected (Montgomery, 1911). Nitrogen  
 125 contents and indexes were measured at two phenological stage, at tasseling (NT), (or at  
 126 approximately one week before anthesis) and at physiological maturity (maximum N  
 127 accumulation and dry matter in grains). Thus, three plants per plot were selected at random,  
 128 being cut 5 cm above the soil surface and in the maturity stage of beyond the plants were  
 129 also collected the grains. These materials were oven dried at 60°C for 3-4 days and then  
 130 milled in Wiley type mill (stainless steel knives and chambers with 40 mesh sieve). A 0.2 g  
 131 subsample of the ground vegetable material was submitted to the sulfur digestion method,  
 132 according to the Kjedahl procedure for the quantification of the total nitrogen content, being  
 133 determined by titration with 0.05 N sulfuric acid according to the methodology described by  
 134 Tedesco et al, (1995). Based on dry matter (DM) and N absorbed, was calculated:

- 135                  • Content of N remobilized= *concentration of nitrogen in the plant at tasseling-*  
                        *concentration of nitrogen in the plant at maturation phase*;
- 136                  • N content after tasseling= *nitrogen concentration at maturity - nitrogen*  
                        *concentration at tasseling stage*;
- 137                  • Total N content= *nitrogen accumulation in the plant+ nitrogen accumulation in*  
                        *the grains*;
- 138                  • Organic nitrogen use efficiency= *((N accumulation in the parcel with vegetal*  
                        *residue - accumulation of N in the control) × 100)/ N applied via vegetal*  
                        *residue*);
- 139                  • Inorganic nitrogen use efficiency= *((N accumulation in plot with urea - N*  
                        *accumulation in plot without urea) × 100)/ N applied via urea*);
- 140                  • Nitrogen agronomic efficiency= *((grain production in the plot with urea) / N*  
                        *applied via urea*);
- 141                  • Contribution to the utilization of nitrogen= *(N accumulation in plot with*  
                        *vegetal residue and urea – N accumulation in plot with vegetal residue) + (N*  
                        *accumulation in plot with vegetal residue – N accumulation in control)*.

In May 2018 at the physiological maturity stage, the following yield components were determined: weight of 100 grains, weight of the grain of the ear, number of grain of the ear and total weight of grains. The weight of 100 grains and the weight of the ear were determined on a scale with accuracy of 0.0001 g. To determine the total weight of grains, a useful area of 5.4 m<sup>2</sup> was established, discarding the lateral rows of maize and also two meters of each end of the plot.

157

158

## **Samplings and soil analysis**

In June 2018, soil samples were collected in the 0-10 cm layer for the physical fractionation of the organic matter, being realized the granulometric fractionation, adapted from Cambardella and Elliot (1992). Thus, 80 ml of hexametaphosphate were added to 20 g of air dried soil. After stirring for 15 hours, the sample was sieved in a 270 mesh sieve and rinsed several times with distilled water until removal of all the clay. The particulate material retained in the sieve, the particulate fraction (PF), was deposited in containers through water jets and then dried in an oven at 50°C until reaching constant mass. After drying, the material was weighed to determine the mass of the particulate fraction (MPF in g), then ground and homogenized. Then the ground material was titrated in ammoniacal ferrous sulphate solution to determine the carbon content of the particulate fraction (CPF), making it possible to calculate:

170 Particulate organic carbon (POC) = ( $CPF \times MPF$ ) /  $pss$

Where  $ps$  is initial mass in grams. The total organic carbon content (TOC) was determined in the same way, however, without fractionation. The organic carbon content associated with minerals (COM) was determined by the difference between TOC (g kg) and POC (g kg).

Carbon stock was calculated with the data of soil density and total organic carbon, according to the equation:

$$177 \quad \text{Carbon stock (Mg ha}^{-1}\text{)} = (TOC \times SD \times e)/10$$

Where  $TOC$  is total organic carbon content ( $\text{g kg}^{-1}$ ),  $SD$  is soil density ( $\text{kg dm}^{-3}$ ) and  $e$  is thickness of the layer considered (cm) (Bayer et al., 2000).

In August of 2018, soil samples were collected using 100 cm<sup>3</sup> cylinders, at 0-20 cm depth using three replicates per plot. These were taken to the laboratory, saturated in water, weighed, placed on a tension table and equilibrated at 10 kPa. After weighing, each sample was dried in an oven at 105°C. Soil density (bp) was calculated as  $m / v$ , where "m" is

184 the dry soil mass at 105°C and "v" is the cylinder volume. The saturated volumetric water  
 185 content was determined by the difference between the mass of the saturated sample and the  
 186 mass of the dry sample. The total porosity ( $\phi_t$ ) was calculated through the soil density (pb),  
 187 assuming 2.65 t/m<sup>3</sup> as the particle density (pp), according to the equation:  $\phi_t = [1 -$   
 188  $(bp / pp)]$ . The aeration capacity was calculated by the difference between the saturated  
 189 sample in water and the sample equilibrated at 10 kPa.

190 The penetration resistance was measured at depths of 0-5, 5-10, 10-15 and 15 to  
 191 20 cm realizing three replicates per plot at 7 days after rainfall in 2018. A digital penetrometer  
 192 (Falker, Porto Alegre, Brazil) graduated in centimeters was used using the 1 MPa value as the  
 193 critical limit. Soil moisture was measured by collecting soil samples from each plot on the  
 194 respective day of penetration resistance evaluation. These samples were weighed, taken to the  
 195 stove for drying to obtain their dry weight. The critical levels used to classify the penetration  
 196 resistance values were based on the work of Hazelton and Murphy (2007). The data obtained  
 197 through these evaluations were submitted to analysis of variance, with their means compared  
 198 by the Duncan test at 5% probability. Statistical analyzes were carried out using  
 199 InfoStat software (Infostat Group, College of Agrarian Sciences, National University of  
 200 Córdoba, Córdoba, Argentina).

201

## 202 Results

### 203 Soil quality physical indicators and their effects on corn yield

204 Among the soil quality physical indicators only the penetration resistance  
 205 indicated differences between treatments. There were no significant differences in the  
 206 parameters of soil bulk density (DS), aeration capacity (AC) and total porosity (TP) among  
 207 the evaluated treatments, as a result of the non-variation of their averages ( $p= 0,9823$ ,  $p =$   
 208  $0,3939$  and  $p = 0,2485$  for DS, AC and TP respectively) (Table 2).

209

210 **Table 2** Soil bulk density (DS), air capacity (AC) and total porosity (TP) (depth 0-20cm) in  
 211 the experimental treatments.

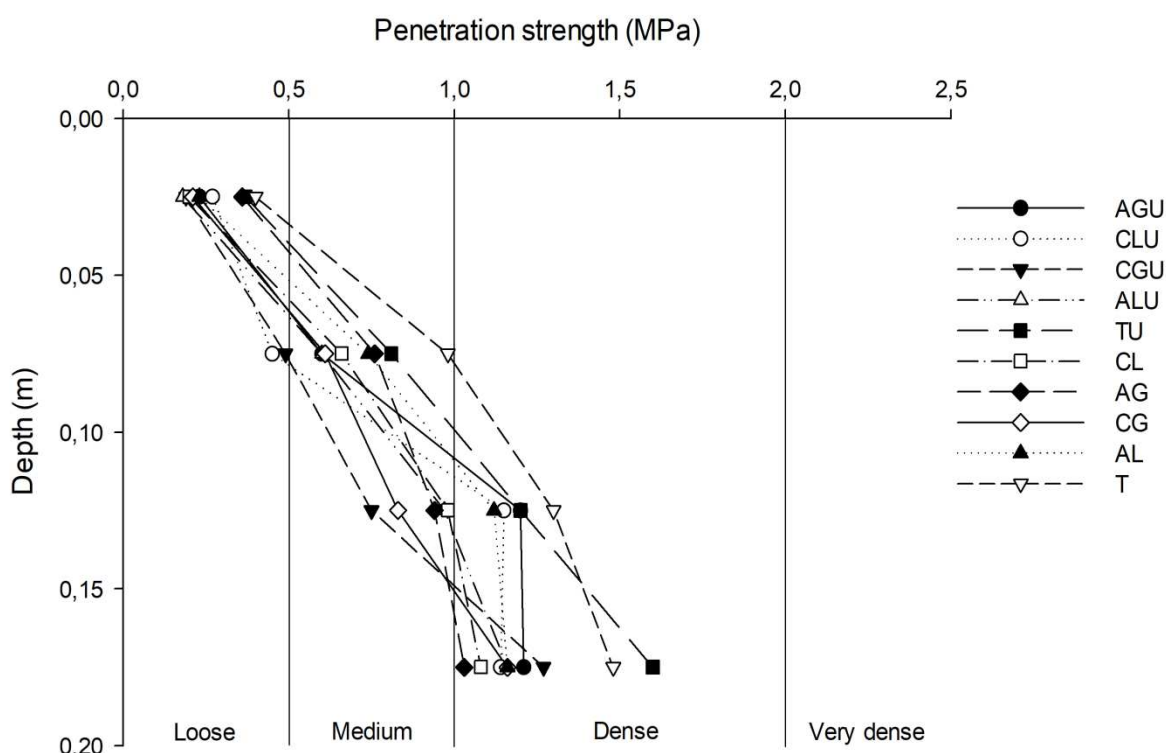
	CGU	CLU	AGU	ALU	CG	AL	CL	AG	TU	T
SD (m <sup>3</sup> m <sup>-3</sup> )	1,46a	1,48a	1,45a	1,43a	1,45a	1,50 a	1,43a	1,44 a	1,45a	1,47 a
AC (m m <sup>-3</sup> )	0,15 a	0,15 a	0,14 a	0,14 a	0,16 a	0,14 a	0,16 a	0,16 a	0,15 a	0,14 a
TP (m m <sup>-3</sup> )	0,39 a	0,38 a	0,38 a	0,38 a	0,39 a	0,38 a	0,39 a	0,40 a	0,39 a	0,37 a

212 Means followed by different letter in the same row indicate significant difference at the 5% level by Duncan's  
 213 test. AGU= 16 Mg ha<sup>-1</sup> of dry matter from acacia+ gliricídia and 130 kg ha<sup>-1</sup> of N from urea; CLU=16 Mg ha<sup>-1</sup> of  
 214 dry matter from clitoria + leucaena and 130 kg ha<sup>-1</sup> of N from urea; CGU= 16 Mg ha<sup>-1</sup> of dry matter from clitoria

215 + gliricídia and 130 kg ha<sup>-1</sup> of N from urea; ALU=16 Mg ha<sup>-1</sup> of dry matter from acacia + leucaena and 130 kg  
 216 ha<sup>-1</sup> of N from urea; TU= control, without residue with 130 kg ha<sup>-1</sup> of N from urea; CL= 16 Mg ha<sup>-1</sup> of clitoria +  
 217 leucaena; AG= 16 Mg ha<sup>-1</sup> of acacia + gliricidia; CG= 16 Mg ha<sup>-1</sup> of clitoria + gliricídia; AL= 16 Mg ha<sup>-1</sup> of  
 218 acacia+ leucaena and T= control (CV= 6,22; 15,40 and 4,71% for SD, AC and TP, respectively).  
 219

220 The values of penetration resistance after 7 days without rain found varied from  
 221 0.18 to 1.60 MPa, with increasing tendencies with increasing depth. In general, they were  
 222 higher in T, and significant, especially in the 5-10 cm layer, where their value corresponds to  
 223 more than twice the CLU treatment (Figure 2).

224



225

226 **Figure 2** Penetration resistance after 7 days without rain at different depths. AGU= 16 Mg ha<sup>-1</sup> of  
 227 dry matter from acacia+ gliricídia and 130 kg ha<sup>-1</sup> of N from urea; CLU=16 Mg ha<sup>-1</sup> of dry matter from clitoria +  
 228 leucaena and 130 kg ha<sup>-1</sup> of N from urea; CGU= 16 Mg ha<sup>-1</sup> of dry matter from clitoria + gliricídia and 130 kg  
 229 ha<sup>-1</sup> of N from urea; ALU=16 Mg ha<sup>-1</sup> of dry matter from acacia + leucaena and 130 kg ha<sup>-1</sup> of N from urea; TU=  
 230 control, without residue with 130 kg ha<sup>-1</sup> of N from urea; CL= 16 Mg ha<sup>-1</sup> of clitoria + leucaena; AG= 16 Mg ha<sup>-1</sup>  
 231 of acacia + gliricidia; CG= 16 Mg ha<sup>-1</sup> of clitoria + gliricídia; AL= 16 Mg ha<sup>-1</sup> of acacia+ leucaena and T=

232 control.

233

234 Except in 2011, in all other years of cultivation the T treatment presented lower  
 235 grain yield, which varied from 0.9 to 6.5 Mg ha<sup>-1</sup>. In 2011, AL treatment presented yield  
 236 below the control (AL = 3.8 and T = 4.3 Mg ha<sup>-1</sup>). The control also showed a sharp fall in  
 237 yield in the years 2012 and 2013 (1.0 and 9.0 Mg ha<sup>-1</sup> respectively) (Table 3). Considering the

238 years 2010 to 2014, an increase of approximately 30% in yield was possible with the CL and  
 239 CG treatments, while for the control this increase corresponded to 23%.

240

241 **Table 3** Yield of corn (2010-2014, 2017) and cassava (2015) ( $Mg\ ha^{-1}$ ) under different  
 242 combinations of legume cover over the years.

Treatments	2010	2011	2012	2013	2014	2015	2017
CL	2,90 a	4,80 a	6,70 a	6,60 a	10,20 a	30,60 bc	10,10 a
AG	2,10 c	4,40 b	5,50 b	5,50 b	9,50 ab	18,60 d	9,20 a
CG	2,50 ab	4,80 a	6,20 a	6,20 a	8,30 b	36,60 ab	9,50 a
AL	2,30 c	3,80 c	5,40 b	5,40 b	8,50 b	23,60 cd	7,50 ab
T	1,50 d	4,30 b	1,00 c	0,90 c	6,50 c	43,60 a	5,50 b

243 CL= clitoria and leucaena, AG= acácia and gliricidia, CG= clitoria and gliricidia, AL= acácia and leucaena and  
 244 T= control, without legumes.

245 Authors: AGUIAR, A. C. F. e ALMEIDA (2017)

246

#### 247 Leaf area index, absorption, remobilization and nitrogen use efficiency

248 The leaf area index was much higher in treatments that received urea, not  
 249 statistically different from other. Meanwhile, in the treatments that did not receive it, there  
 250 was a marked difference, being smaller in T and higher in CG ( $p = <0.0001$ , CV =  
 251 7.97). Regarding the nitrogen absorbed at tasseling the highest contents were presented by  
 252 CLU and ALU, corresponding to more than double hosted by TU. The treatments that  
 253 received leguminous cover but did not receive  
 254 urea were intermediates, highlighting CG, however, the control was lower than the others ( $p$   
 255 =  $<0.0001$ , CV = 21.92) (Table 4).

256 Highest contents of remobilized nitrogen were found in CLU and ALU  
 257 significantly higher than TU. With the exception of AG, all treatments that included only  
 258 leguminous residues were higher than T ( $p = <0.0001$ , CV = 35.46). Treatments that  
 259 combined residues of leguminous and urea presented higher N content in the grains, differing  
 260 substantially from TU. Among those who received only leguminous residues, only AL was  
 261 similar to T ( $p = <0.0001$ , CV = 15.99).

262 Regarding the content of total N, high contents were verified in treatments that  
 263 combined leguminous residues and urea and all were higher than TU ( $p = <0.0001$ , CV =  
 264 14.46). Similarly, all who did not receive urea, showed higher N content in the grain  
 265 compared to T. There was no difference between treatments for contribution to utilization of  
 266 nitrogen.

267

268 **Table 4** Leaf area index (LAI), nitrogen at tasseling (NT), nitrogen remobilized (NR),  
 269 nitrogen post-tasseling (NPT), nitrogen in grain (NG), total nitrogen (TN) and contribution to  
 270 the utilization of nitrogen (NC) in corn under different legume coverages.

	AGU	CLU	CGU	ALU	TU	CL	AG	CG	AL	T
LAI ( $m^2 m^{-2}$ )	2,88 a	2,85 a	2,96 a	2,80 a	2,74 a	2,14 c	2,33 bc	2,44 b	2,09 c	1,02 d
NT ( $Kg ha^{-1}$ )	74,64 b	105,42 a	64,84 bc	115,82 a	56,16 bc	45,59 cd	31,61 d	63,91 bc	48,59 cd	10,81 e
NR ( $Kg ha^{-1}$ )	38,60 c	69,15 ab	33,57 cd	82,74 a	29,71 cd	32,32 cd	15,42 de	47,07 c	49,07 bc	4,42 e
NPT ( $Kg ha^{-1}$ )	79,97 a	45,44 b	89,69 a	38,92 bc	34,19 bcd	17,05 cd	45,74 b	20,41 cd	17,89 cd	15,37 d
NG ( $Kg ha^{-1}$ )	126,34 a	114,59 a	123,26 a	120,68 a	71,25 b	51,23 b	61,15 b	67,49 b	57,82 b	19,79 c
TN ( $Kg ha^{-1}$ )	154,62 a	150,85 a	154,53 a	153,76 a	90,34 b	62,63 c	77,35 bc	84,32 bc	66,59 c	26,19 d
NC ( $Kg ha^{-1}$ )	128,43 a	124,67 a	128,34 a	127,57 a						

271 Means followed by different letter in the same row indicate significant difference at the 5% level by Duncan's  
 272 test. AGU= 16 Mg  $ha^{-1}$  of dry matter from acacia+ gliricídia and 130 kg  $ha^{-1}$  of N from urea; CLU=16 Mg  $ha^{-1}$  of  
 273 dry matter from clitoria + leucaena and 130 kg  $ha^{-1}$  of N from urea; CGU= 16 Mg  $ha^{-1}$  of dry matter from clitoria  
 274 + gliricídia and 130 kg  $ha^{-1}$  of N from urea; ALU=16 Mg  $ha^{-1}$  of dry matter from acacia + leucaena and 130 kg  
 275  $ha^{-1}$  of N from urea; TU= control, without residue with 130 kg  $ha^{-1}$  of N from urea; CL= 16 Mg  $ha^{-1}$  of clitoria +  
 276 leucaena; AG= 16 Mg  $ha^{-1}$  of acacia + gliricidia; CG= 16 Mg  $ha^{-1}$  of clitoria + gliricídia; AL= 16 Mg  $ha^{-1}$  of  
 277 acacia+ leucaena and T= control.

278

279 Highest organic N use efficiencies were observed in CLU, AGU and ALU  
 280 treatments ( $p = <0.0865$ , CV = 27.31) in relation to control. In relation to the inorganic N use  
 281 efficiency, with the exception of CGU, all treatments that included urea and organic  
 282 fertilization were higher than TU ( $p = 0, 1175$ , CV = 20, 06) (Table 5). With the exception of  
 283 ALU, all other treatments that combined leguminous and urea presented higher agronomic  
 284 efficiency than the control.

285

286 **Table 5** Organic nitrogen use efficiency (ONUE, %), inorganic nitrogen use efficiency  
 287 (INUE, %.) and nitrogen agronomic efficiency (EA,  $Kg ha^{-1}$ ) in corn under different legume  
 288 coverages.

	CLU	CGU	AGU	ALU	TU	CG	AG	CL	AL
ONUE	40,34 a	33,49 ab	42,85 a	42,28 a		38,76 ab	34,10 ab	24,30 b	26,93 ab
INUE	67,86 a	54,01 ab	69,31 a	67,06 a	49,35 b				
EA	102,92a	89,32 b	92,95 ab	81,66 bc	70,19 c				

289 Means followed by different letter in the same row indicate significant difference at the 5% level by Duncan's  
 290 test. AGU= 16 Mg  $ha^{-1}$  of dry matter from acacia+ gliricídia and 130 kg  $ha^{-1}$  of N from urea; CLU=16 Mg  $ha^{-1}$  of  
 291 dry matter from clitoria + leucaena and 130 kg  $ha^{-1}$  of N from urea; CGU= 16 Mg  $ha^{-1}$  of dry matter from clitoria  
 292 + gliricídia and 130 kg  $ha^{-1}$  of N from urea; ALU=16 Mg  $ha^{-1}$  of dry matter from acacia + leucaena and 130 kg  
 293  $ha^{-1}$  of N from urea; CL= 16 Mg  $ha^{-1}$  of clitoria + leucaena; AG= 16 Mg  $ha^{-1}$  of acacia + gliricidia; CG= 16 Mg  
 294  $ha^{-1}$  of clitoria + gliricídia; AL= 16 Mg  $ha^{-1}$  of acacia+ leucaena.

295

296                   **Physical fractionation of organic matter and corn yield components in 2018**

297                   Differences between treatments for particulate organic carbon were observed only  
 298                   between CL and controls (T and TU) ( $p = 0.2205$ , CV = 28.73). There was no significant  
 299                   difference between treatments for organic carbon associated with minerals ( $p = 0.5564$ , CV =  
 300                   34.28) (Table 6).

301  
 302                   **Table 6** Mass of particulate fraction (MPF), particulate organic carbon (POC), organic carbon  
 303                   associated with minerals (COM), total organic carbon (TOC) and carbon stock (CS) of soil  
 304                   organic matter separated by physical fractionation in the 0-10 cm depth.

	CLU	AGU	CGU	ALU	CL	AG	CG	AL	TU	T
MPF (g)	14,10 a	14,18 a	14,41 a	14,47 a	14,34 a	14,32 a	13,99 a	13,93 a	14,15 a	14,47 a
POC ( $\text{g kg}^{-1}$ )	13,14 ab	12,74 ab	13,66 ab	14,27 ab	16,01 a	10,70 ab	12,32 ab	12,92 ab	9,91 b	9,91 b
COM ( $\text{g kg}^{-1}$ )	10,79 a	11,49 a	10,88 a	9,21 a	7,70 a	13,98 a	12,69 a	11,99 a	11,66 a	10,14 a
TOC ( $\text{g kg}^{-1}$ )	23,93 a	24,24 a	24,54 a	23,48 a	23,71 a	24,68 a	25,01 a	24,90 a	20,47 b	20,05 b
CS ( $\text{Mg ha}^{-1}$ )	35,32 ab	35,05 ab	35,86 a	33,63 ab	33,79 ab	35,29 ab	36,27 a	37,38 a	29,56 b	29,49 b

305                   Means followed by different letter in the same row indicate significant difference at the 5% level by Duncan's  
 306                   test. AGU= 16 Mg  $\text{ha}^{-1}$  of dry matter from acacia+ gliricídia and 130 kg  $\text{ha}^{-1}$  of N from urea; CLU=16 Mg  $\text{ha}^{-1}$  of  
 307                   dry matter from clitoria + leucaena and 130 kg  $\text{ha}^{-1}$  of N from urea; CGU= 16 Mg  $\text{ha}^{-1}$  of dry matter from clitoria  
 308                   + gliricídia and 130 kg  $\text{ha}^{-1}$  of N from urea; ALU=16 Mg  $\text{ha}^{-1}$  of dry matter from acacia + leucaena and 130 kg  
 309                    $\text{ha}^{-1}$  of N from urea; TU= control, without residue with 130 kg  $\text{ha}^{-1}$  of N from urea; CL= 16 Mg  $\text{ha}^{-1}$  of clitoria +  
 310                   leucaena; AG= 16 Mg  $\text{ha}^{-1}$  of acacia + gliricidia; CG= 16 Mg  $\text{ha}^{-1}$  of clitoria + gliricídia; AL= 16 Mg  $\text{ha}^{-1}$  of  
 311                   acacia+ leucaena and T= control.

312  
 313                   All treatments that received leguminous residues had higher total organic carbon  
 314                   content than control treatments ( $p = 0.0081$  and CV = 8.50%). There was no significant  
 315                   difference between treatment with coverage with or without urea. CGU, CG and AL  
 316                   presented higher carbon stock compared to controls.

317                   The treatments that combined residues of leguminous and urea did  
 318                   not differ among them in weight of the ear, but were superior to the other  
 319                   treatments. However, CLU showed greater weight of ear than TU ( $p = <0.0001$ , CV = 14.97).  
 320                   Treatments with urea and leguminous did not differ among them in the number of grains per  
 321                   ear, however they were superior to the others. All treatments that received only leguminous  
 322                   residues presented higher number of grains per ear than the control treatment ( $p = <0.0001$ ,  
 323                   CV = 9.99) (Table 7).

324  
 325  
 326

327 **Table 7** Weighth of ear (WE), number of grains ear (NGE), weight of 100 grains and weight of  
 328 grains (WG) of corn in the treatments.

	AGU	CLU	CGU	ALU	TU	CL	AG	CG	AL	T
WE (g)	207,44 ab	240,99 a	213,71 ab	219,97 ab	187,33 b	139,36 c	141,19 c	137,54 c	121,56 cd	86,42 d
NGE	582,25 a	632,00 a	584,75 a	594,00 a	559,75 a	438,75 b	475,50 b	422,50 b	418,25 b	306,00 c
W100 (g)	38,80 a	39,26 a	38,87 a	40,11 a	39,84 a	36,19 a	35,48 a	39,57 a	37,12 a	34,65 a
WG ( $Mg\ ha^{-1}$ )	12,08 ab	13,87 a	11,61ab	10,62 bc	9,13 cd	8,15 de	4,96 f	6,58 ef	5,93 f	3,01 g

329 Means followed by different letter in the same row indicate significant difference at the 5% level by Duncan's  
 330 test. AGU= 16 Mg  $ha^{-1}$  of dry matter from acacia+ gliricídia and 130 kg  $ha^{-1}$  of N from urea; CLU=16 Mg  $ha^{-1}$  of  
 331 dry matter from clitoria + leucaena and 130 kg  $ha^{-1}$  of N from urea; CGU= 16 Mg  $ha^{-1}$  of dry matter from clitoria  
 332 + gliricídia and 130 kg  $ha^{-1}$  of N from urea; ALU=16 Mg  $ha^{-1}$  of dry matter from acacia + leucaena and 130 kg  
 333  $ha^{-1}$  of N from urea; TU= control, without residue with 130 kg  $ha^{-1}$  of N from urea; CL= 16 Mg  $ha^{-1}$  of clitoria +  
 334 leucaena; AG= 16 Mg  $ha^{-1}$  of acacia + gliricidia; CG= 16 Mg  $ha^{-1}$  of clitoria + gliricídia; AL= 16 Mg  $ha^{-1}$  of  
 335 acacia+ leucaena and T= control.

336

337 There was no significant difference between treatments for weight of 100 grains  
 338 ( $p = 0.4199$ ; CV = 10.08). With the exception of ALU, all treatments that combined  
 339 leguminous and urea had high grain productivity and higher than TU ( $p = <0.0001$ , CV =  
 340 13.92). These treatments were also superior to the others. Among the treatments that did not  
 341 receive urea, CL and CG presented higher grain yield, all which included legume cover were  
 342 higher than T.

343

## 344 Discussion

### 345 Soil physical indicators and their effects on maize productivity

346 Soil cover with leguminous residues has been able to significantly improve soil  
 347 physical indicators, with outstanding effects on penetration resistance. The absence of  
 348 differences between treatments for aeration capacity and total porosity probably reflects  
 349 effects that can not be expressed quantitatively, which is why they are often defined as  
 350 capacity indicators or static indicators.

351 Significant differences in penetration resistance were observed in the layer of 5-10  
 352 cm and 15-20 cm, in which the control treatments showed the highest values, attesting to the  
 353 ability of the cover with leguminous to reduce the compactness of the soil. In general,  
 354 leguminous combinations that included the clitoria were more efficient in reducing the  
 355 compactness. Absence of statistical difference for soil density and presence in penetration  
 356 resistance was observed by Costa et al. (2006). Little variation in soil density was observed by  
 357 Lanzanova et al. (2007) and Freddi et al. (2009). Freddi et al. (2009) found little variation in  
 358 soil density due to its small variation and low sensitivity to the management, as opposed to

359 the penetration resistance that is a more sensitive physical property for soil capacity  
360 quantification, as reported by Streck et al. (2004) and Abreu et al. (2004).

361 Reductions in the values of penetration resistance as a result of the use of  
362 vegetation cover were verified by Din et al. (2014) in his study in the brazilian northeast  
363 region. Green manure can improve physical soil properties as a reflection of increased soil  
364 organic carbon and nutrient cycling (Xie et al. 2016). Bana et al. (2013) found that the use of  
365 soil cover is efficient in maintaining soil moisture in the 20-60 cm layer and capable of  
366 reducing penetration resistance during the vegetative stage to 10-30%.

367 In the layer of 5-10 cm with exception of CLU, the other  
368 treatments presented penetration resistance considered as average. In the 15-20 cm layer the  
369 control treatments (T and TU) reached values considered "dense", according to the  
370 classification adopted by Haezelton and Murphy (2007). The value of 2.0 MPa ("very dense")  
371 was not reached, probably due to the high humidity values found.

372 Reduction in the compactness provided by legume residues cover may be related  
373 to the higher levels of organic carbon from successive years of no-till on leguminous  
374 straw. The effects of organic matter on soil structure and moisture are well known, these  
375 effects may have provided a reduction in penetration resistance. High soil compactness can  
376 cause less root and aerial parts growth, which makes the plants more deficient in the capture  
377 of resources, especially water and solar radiation, with marked effects on  
378 productivity. Photosynthetic efficiency can be severely limited by compactness due to lower  
379 leaf expansion (Wilson et al, 2013).

380 The successive and residual effects of the application of leguminous residues on  
381 soil physical indicators were probably responsible for the increase in maize productivity in  
382 covered plots over the years, even getting high yields starting at 2014. For the control  
383 treatment, however, this increase did not persist, on the contrary, there was a decrease,  
384 probably due to the depletion of organic matter and the high soil compactness, reducing corn  
385 root and aerial growth.

386 Qamar et al. (2015) also found a positive effect of plant cover on grain yield and  
387 water stress reduction. To maintain high productivities, ensure long-term soil fertility is a  
388 prerequisite. However, to sustain fertility is essential that the organic matter and nutrients  
389 removed by harvesting or through chemical processes, physical or biological agents in the  
390 environment, to be offset by fertilizing, so that the *status* of organic matter is maintained and  
391 the balance nutrients do not be negative (El Ramady et al., 2014).

392        However, exotic legumes used as cover can establish negative interactions with  
393 crops, which vary with cultivated species and with predominant environmental conditions.  
394 Allelopathic effects of these legumes were found by Pires et al. (2001) and Moura et al.  
395 (2014). These effects explain the low performance of cassava cultivated under legume  
396 residues in 2015.

397

398        **Leaf area index, absorption, remobilization and nitrogen use efficiency in 2018**

399        Nitrogen markedly affects chlorophyll production and the content and activity of  
400 carboxylic enzymes, allowing greater leaf expansion (Bassi et al., 2018), so treatments that  
401 received urea and leguminous residues had higher leaf area index. The lower value of LAI for  
402 the control, between treatments that did not receive urea, reflects the effect of the application  
403 of leguminous residues on the vegetative performance.

404        Further leaf area index in treatments with leguminous residues were also observed  
405 by Moura et al. (2018) in their study on improvement of soil characteristics in climatic and  
406 experimental conditions similar to those of this study.

407        The combination of leguminous and urea was more effective in increasing N  
408 content in tasseling compared to other treatments. These higher contents in relation to the TU  
409 probably reflect a greater root development due to the growth in more permeable soil, which  
410 enables the plants to be efficient in the use of nitrogen. In the treatments that did not receive  
411 urea, in a similar way, the T treatment had the lowest average value.

412        The absorption of N by the vegetable is closely related to the capacity of  
413 assimilation and incorporation of nitrogen compounds in its tissues. There are reports of  
414 decreases in absorption resulting mainly from N losses in the system (Dawson et al.,  
415 2008). Habbib et al. (2016) in their study in France, concluded that the continuous use of no-  
416 till systems with maintenance of soil cover is a promising way to increase nitrogen use  
417 efficiency of corn and, consequently, reduce the use and loss of nitrogen fertilizer without  
418 damage to productivity.

419        In general terms, ALU and CLU presented the highest contents of  
420 N remobilized. However, in relation to the accumulation of N in after tasseling, ALU and  
421 CLU were similar to the control. High C/N ratio present in the combinations with gliricídia,  
422 possibly allowed a more gradual release of nitrogen, which would have caused a delay in  
423 leave senescence, allowing them bigger nitrogen absorption capacity after tasseling. Nitrogen  
424 remobilization may be influenced by nitrogen availability and the size of drain. Thus, in

425 nitrogen deficient conditions, the plants may exhibit greater remobilization as a result of  
426 higher stock in the drain due to the deficiency.

427 Treatments that included leguminous and urea presented higher N content in the  
428 grain and were statistically greater than TU, attesting once again the efficiency of the waste in  
429 recovering the available nitrogen and supplying additional nitrogen, resulting in greater  
430 accumulation. Increase of the nitrogen content in the plots that received leguminous can also  
431 be explained by the high nutrient cycling potential of the leguminous. Dubeux Júnior et  
432 al. (2017) report that leguminous trees are able to absorb nutrients from the deeper layers of  
433 the soil and recycle them to the surface by modifying the environment of the rhizosphere.

434 Benefits of the association of green manures with urea fertilizer were also  
435 reported by Xie et al. (2016), emphasizing that in addition to the possibility of increasing soil  
436 organic matter content and total N, this combination may be beneficial to soil biology, for  
437 example by improving the activity of mycorrhizal fungi and diverse microbial communities.

438 The CLU treatment provided changes in soil with regard to reduction  
439 of penetration strength and increased organic carbon content, which probably allowed him  
440 better both organic and inorganic N use efficiency and greater nitrogen agronomic efficiency.  
441 Similarly, treatments that combined urea and legumes were more efficient in the inorganic  
442 nitrogen use, as a reflection of better conditions in the root environment,  
443 providing greater growth, increased absorption and reducing leach losses in the soil.

444 A large variation in INUE values between different genotypes is pointed out by  
445 Gondwe et al. (2014), emphasizing that the nitrogen use performance also varies with the crop  
446 genotype, in addition to the management practices, a reason that helps to understand  
447 the different values of nitrogen use efficiency indicated for corn crop on literature. Klein et  
448 al. (2016) classified ranges of nitrogen use efficiency for agriculture, emphasizing that values  
449 above 90% are considered very high. The ideal NUE range according to the authors would be  
450 between 50-90%, illustrating a balance between nitrogen inlet and outlet of the  
451 system. Nitrogen use efficiency around 63% were verified by Almeida et al. (2018), between  
452 39 and 52% were found by Alves et al. (2006), Gava et al. (2006) and Duete et al. (2008),  
453 Moura et al. (2016) presented values between 41 and 48%.

454 The denser soils, on the other hand, when not covered with vegetation cover can  
455 be damaging to the use of N, because they can, in certain circumstances, retain water in the  
456 first centimeters of the profile, creating thus anaerobic conditions suitable for nitrogen loss by  
457 denitrification. According to Barbieri et al. (2008), the nitrogen use efficiency is highly

458 influenced by the development and morphology of the root system, thus highlighting the need  
459 for suitable soil conditions for the nitrogen fertilizer to be used efficiently.

460

461 **Physical fractionation of organic matter and corn yield components in 2018.**

462 The control treatments (T and TU) presented the lowest total organic  
463 carbon contents. There was a moderate effect of the legume residues on the particulate  
464 organic carbon content, also pointing to a result with the same observed pattern. Thus, the soil  
465 cover with leguminous was able to increase the organic carbon content of the soil, as a  
466 result of continuous application. Although the tropical conditions do not favor an expressive  
467 accumulation of organic matter due to the rapid degradation of the residues, the  
468 conservationist systems can reach a stable balance of organic matter, in which the carbon exits  
469 are replaced by the continuous application of organic residues (Haynes et al., 2005).

470 Aguiar et al. (2010), studying six fractions of soil organic carbon, found a  
471 reduction of organic carbon in the alley system compared to the secondary forest, however,  
472 they pointed out that this reduction was higher in the conventional cultivation  
473 system. Prado et al. (2016), in Brazilian tropical conditions, obtained values of organic carbon  
474 ranging from 4.7 to 13.5 g kg in the light fraction and 6.1 to 16.8 g kg in  
475 the heavy fraction and, therefore, are values that are close those of our study. The same  
476 authors point out that even the heavy fraction depends on an input of the light fraction, so the  
477 activity of the microorganisms can be used to make inferences about the quality of the soil.  
478 They also reported that the degradation rate of the organic waste in different management are  
479 a major influence on the cycling and availability of nutrients for plants.

480 It is also suggested the occurrence of a residual effect of combined leguminous,  
481 particularly for combinations including clitoria, which helps explain the greatest effect of  
482 these treatments on soil physical characteristics and the performance of corn. This residual  
483 effect supposedly present in the treatments that included clitoria was certainly responsible for  
484 the greater performance of these treatments in the corn yield components and, over the years,  
485 this pattern was maintained.

486 The effects of soil organic matter on crop yield are also results of its activity on  
487 soil physical properties, since physical problems represent one of the main causes of low  
488 productive performance. Low organic matter contents decrease for example, soil structural  
489 stability through increases in clay dispersibility (Schjonning et al., 2018). Achieving greater  
490 carbon stock is a desirable goal in sustainable agricultural systems and has been found in

491 CGU, CG and AL, suggesting that soil cover, as well as greater plant development, can also  
492 provide ecosystem services.

In 2018 high yields were achieved in treatments that combined use of leguminous and fertilization with urea. The higher grain weight of CLU is a result of its higher ear weight, as a response to lower values of penetration strength and higher organic matter contents, which also allowed it to be more efficient in the nitrogen use. Similarly, among the treatments that did not receive urea, the one with the highest grain weight was CL, corroborating the hypothesis that this combination is the most efficient in terms of taking advantage of the benefits of the alley cropping system compared to the others.

Control treatment in turn, had the lowest productivity, reflecting the smaller ear weights and number of grains per ear in response to the lower content of organic carbon and increased penetration strength, corresponding to the production systems where the management of organic matter is not carried out and nutrient replacement through mineral fertilization.

The significant increase in corn yield in the control (TU) between 2017 and 2018 was due to the application of gypsum in 2017 throughout the experimental area, which allowed TU to take advantage of greater availability of calcium and sulfur and possibility of greater root growth.

Increases in grain yield of corn in alley cropping system as a response to nitrogen fertilization were observed by Rahman et al. (2009), emphasizing also the greater efficiency of this system when nitrogen fertilizer is properly used.

Our results show that the combined use of leguminous residues and urea fertilization is more efficient for tropical conditions. Leguminous residues are capable to providing improvements in soil physical characteristics, in addition to the additional nitrogen supply from biomass. Urea fertilization, in turn, fulfills the important role of providing nutrients readily to the crop in the stages of greatest demands, being necessary, since only vegetal residues are not sufficient to supply the needs of corn.

## Conclusions

Greater nitrogen use efficiency is achieved with the use of soil cover with leguminous combined with urea fertilization, resulting in higher productive performance. These benefits of alley system are achieved by virtue of the improvement of the physical indicators in the root environment, provided by the continuous application of biomass of the arboreal leguminous.

525

526

## References

- 527 Abreu, S. L; Reichert, J. M; & Reinert, D. J. (2004). Escarificação mecânica e biológica para  
 528 redução da compactação em argissolo franco-arenoso sob plantio direto. *Revista brasileira de*  
 529 *ciência do solo*, n.28, p. 519-531.
- 530 Aguiar, A. C. F.; Freitas, I. D.; Carvalho, C. S.; Monroe, P. H. M; & Moura, E. G. M. (2010).  
 531 Efficiency of in agrosystem designed for family farming in the pré-amazon region. *Renewable*  
 532 *agriculture and food systems*. Cambridge University. Doi: 10.1017/s17421705.
- 533 Almeida, H. D. de (2017). *Produtividade e qualidade de mandioca com adubação verde e*  
 534 *aplicação de ácido húmico em solo tropical propenso à coesão*. Programa de Pós-Graduação  
 535 em Agroecologia – Universidade Estadual do Maranhão. (Dissertação). 66 p.
- 536 Almeida, R. E. M.; Favarin, J. L.; Otto, R.; Franco, H.; Reis, A. F. B.; Moreira, L. A.; &  
 537 Trivelin, P. (2018). Nitrogen recovery efficiency for corn intercropped with palisad grass,  
 538 *Bragantia*, v. 77, n.4, p. 557-566.
- 539 Alves, B. J. R.; Zotarelli, L.; Fernandes, F. M.; Heckler, J. C.; Macedo, R. A. T.; Boddey, R.  
 540 M.; Jantalia, C. P.; & Urquiaga, S. (2006). Fixação biológica de nitrogênio e fertilizantes  
 541 nitrogenados no balanço do nitrogênio em soja, milho e algodão. *Pesquisa agropecuária*  
 542 *brasileira*, v.41, p. 449-456.
- 543 Bana, S.; Prijono, S.; Ariffin; & Soemarno. (2013). The effects of soil management on the  
 544 availability of soil moisture and maize production in dry land, *Internaternal journal of*  
 545 *agricultural and forestry*, n.3, v.3, p. 77-85.
- 546 Barbieri, P.; Andrade, F.; & Echeverria, H. (2008). Nitrogen use efficiency in maize as  
 547 affected by nitrogen availability and row spacing. *Agronomy journal*, v. 100, n.4, p.1004-  
 548 1100.
- 549 Bassi, O.; Menoss, M. & Martiello, L. (2018). Nitrogen supply influences photosynthesis  
 550 establishment along the sugarcane leaf. *Nature*, DOI:10.1038/s41598-018-20653-1.
- 551 Bayer, C.; Mieliuczuk, J.; Amado, T. J. C.; Martin Neto, L.; & Fernandes, S. A. (2000).  
 552 Organic matter storage in a sand loan Acrisol affected by tillage end cropping systems in  
 553 southern brazil. *Soil and tilllege research*, v.54, p. 101-109.
- 554 Blainsk, E.; Guimarães, R. M. L.; & Tormena, C. A. (2008). Quantifying soil physical  
 555 degradation through the soil penetration resistance curve. *Revista brasileira de ciência do*  
 556 *solo*, v. 32, p. 975-983.
- 557 Cambardella, C. A.; & Elliot, E. T. (1992) Particulate soil organic-matter changes across a  
 558 grassland cultivation sequence. *Soil science society. Am. J.* 56, p. 777-783.
- 559 Costa, E. A; Wenceslau, J. G; Sousa, & D. M. G de. (2006). Qualidade de solo submetido a  
 560 sistemas de cultivo com preparo convencional e plantio direto. *Pesquisa agropecuária*  
 561 *brasileira*, v.41, n.7, p. 1185-1191.
- 562 Dawson, J. C.; Huggins, D. R.; & Jones, S. S. (2008). Characterizing nitrogen use efficiency  
 563 in natural and agricultural ecosystems to improve the performance of cereal crops in low-  
 564 imput and organic agricultural systems. *Field crops research*, n. 107, p. 89-101.
- 565 DIN, S. U.; HANIF, M.; & RAMZAN, M. (2014). Influence of tillage and mulching practices  
 566 on soil physical under semi-arida environment, *Journal of environment and earth science*, v.4,  
 567 n.9.

- 568 Du, X.; Chen, B.; Zhang, Y.; Zhao, W.; & Shen, T. (2016). Nitrogen use efficiency of cotton  
 569 (Gossypium hirsutum L.) as influenced by wheat-cotton cropping systems. *European journal*  
 570 *of agronomy*, n. 75, p. 72-79.
- 571 Dubeux Júnior, J. C. B.; Apolinário, V. X. O.; Nair, P. K. R.; Lira, M. A.; & Sollembberger, L.  
 572 E. (2017). Tree legumes: na underexploited resource in warm-climate silvopastures, *Revista*  
 573 *brasileira de zootecnia*, v. 46, n.8, p. 689-703.
- 574 Duete, R. R. C.; Muraoka, T.; Silva, E. C.; Trivelin, P. C. O.; & Ambrosiano, E. J. (2008).  
 575 Manejo da adubação nitrogenada e utilização do nitrogênio ( $^{15}\text{N}$ ) pelo milho em latossolo  
 576 vermelho. *Revista brasileira de ciência do solo*, v. 32, p. 161-171.
- 577 El-Ramady, H. R.; Amer, M.; Alshaal, T.; & Szabolcsy, E. D. (2014). Soil quality and plant  
 578 nutrition, *Sustainable agricultural*, n.14, v.138.
- 579 Freddi, O. da S; Centurion, J. F; Duarte, A. P; & Leonel, C. L. (2009). Compactação do solo e  
 580 produção de cultivares de milho em latossolo vermelho. I- características da planta, solo e  
 581 índice. *Revista brasileira de ciência do solo*, n.33, p. 793-803, 2009.
- 582 Gava, G. J. C.; Trivelin, P. C. O.; Oliveira, M. W.; Heinrichs, R.; & Silva, M. A. (2006).  
 583 Balanço do nitrogênio da uréia ( $^{15}\text{N}$ ) no sistema solo-planta na implantação da semeadura  
 584 direta na cultura do milho, *Bragantia*, v. 65, p. 477-486.
- 585 Gondwe, B. M.; Kalaluka, M.; Mweetwa, A. M.; & Phiri, E. (2014). Evaluation of maize  
 586 genotypes for nitrogen use efficiency, *Zambian journal of agricultural science*, v.10, n.2,  
 587 p.55-63.
- 588 Habbib, H.; Verzeaux, J.; Nivelle, E.; Roger, D.; Lacoux, J.; Catterou, M.; Hirel, B.; Doubois,  
 589 F.; & Tétu, T. (2016). Conversion to no-till improves maize nitrogen use efficiency in a  
 590 continuous cover cropping system, *Journal pone*, v.6, n.6.
- 591 Haynes, R. J. (2005). Labile organic matter fractions as central components of the quality of  
 592 agricultural soils: an overview. *Advanced in agronomy*, v. 87, 0065-2113.
- 593 Hazelton, P. & Murphy, B. (2007). *Interpreting soil test results*. What do all the numbers  
 594 mean? CSIRO Publishing: Clayton, Australia.
- 595 Klein, C. A. M.; Monaghan, R. M.; Alfaro, M.; Gourley, C.; Onema, O.; & Powell, M.  
 596 (2016). Realistic nitrogen use efficiency goals in dairy production systems a review and case  
 597 study examples. *International nitrogen initiative conference, “solutions to improve nitrogen*  
 598 *use efficiency for the world”*, December.
- 599 Lanzanova, M. E; Silveira, R. da N; Lovato, T; Folleto, F. E. L.; Carneiro, T. J. A; & Reinert,  
 600 D. J. (2007). Atributos físicos do solo em sistema de integração lavoura-pecuária sob plantio  
 601 direto. *Revista brasileira de ciência do solo*, v.31, n.5, p. 1131-1140.
- 602 Leite, M. F. A.; Luz, R. L.; Muchavisoy, K. H. M.; Zelarayán, M. L. C.; Cardoso, E. G.;  
 603 Moraes, F. H.; Rousseau, G. X.; & Gehring, C. (2016). The effects of land use on  
 604 aboveground biomass and soil quality indicators in spontaneous forests of eastern Amazonia.  
 605 *Agroforestry systems*, v. 90, p. 1009-1023.
- 606 Montgomery, E. G. (1911). Correlation studies of corn. *Annual report*, n.24, p. 108-159.
- 607 Moura, E. G.; Gehring, C.; Braun, H.; Ferraz Júnior, A. S. L.; Reis, F. O.; & Aguiar, A. C. F.  
 608 (2016). Improving farming practices for sustainable soil use in the humid tropics and  
 609 rainforest ecosystem health, *Sustainability*, v. 8, n. 841.

- 610 Moura, E. G.; Portela, S. B.; Macedo, V. R. A.; Sena, V. G. L.; Sousa, C. C. M.; & Aguiar, A.  
 611 C. F. (2018). Gypsum and legume residue as a strategy to improve soil conditions in  
 612 sustainability of agroforests of the humid tropics, *Sustainability*, v. 10, n. 1006.
- 613 Moura, E. G.; Marques, E. S.; Silva, T. M. B.; Piedade, A. R.; & Aguiar, A. C. F. (2014).  
 614 Interactions among leguminous trees, crops and weeds in a no-till alley cropping system.  
 615 *International journal of plant production*, n.8, v.4, p.441-456, 2014.
- 616 Moura, E. G.; Serpa, S. S.; Santos, J. G. D.; Sobrinho, J. R. S. C.; & Aguiar, A. C. F. (2010).  
 617 Nutrient use efficiency in alley cropping systems in the Amazon periphery, *Plant and soil*, v.  
 618 335, p. 363-371.
- 619 Oliveira, V. R.; Silva, P. S. L.; Paiva, H. N.; Pontes, F. S. T.; & Antônio, R. P. (2016).  
 620 Growth of arboreal leguminous plants and maize yield in agroforestry systems. *Revista árvore*,  
 621 v.40, n.4, p. 679-688.
- 622 Pires, N. M.; Prates, H. T.; Pereira Filho, I. A.; Oliveira Júnior, R. S.; Faria, T. C. L. (2001).  
 623 Atividade alelopática da leucena sobre espécies de plantas daninhas. *Scientia agrícola*, v.58,  
 624 n.1, p.61-65.
- 625 Prado, M. R. V.; Ramos, F. T.; Webber, O. L. S.; & Muller, C. B. (2016). Organic matter and  
 626 total nitrogen in the densimetric fractions of organic matter under different soil management.  
 627 *Revista caatinga*, v.29, n.2, p.263-273.
- 628 Qamar, R.; Ehsanullah; Saqib, M.; Javeed, H. M. R.; Rehman, A.; Rehman, A.; & ALI, A.  
 629 (2015). Influence of tillage and mulch on soil physical properties and wheat yield in rice-  
 630 wheat system, *West African journal of applied ecology*, v.23, n.1, p. 21-38.
- 631 Rahman, M. A.; Miah, M. G.; & Yahata, H. (2009). Maize production and soil properties  
 632 change in alley cropping system at different nitrogen levels, *The agriculturists*, v. 7, p.41-49.
- 633 Schjonning, P.; Jensen, J. L.; Bruun, S.; Jensen, L. S.; Christensen, B. T.; Munkholm, L. J.;  
 634 Oelofse, M.; Baby, S.; & Knudsen, L. (2018). The role of soil organic matter for maintaining  
 635 crop yields: evidence for a renewed conceptual basis. *Advances in agronomy*, ISSN 0065-  
 636 2113.
- 637 Souza, E. A. de. (2013). *Plantio direto na palha de leguminosas como estratégia para  
 638 melhorar a eficiência do uso de nutrientes em milho QPM*. Programa de Pós-Graduação em  
 639 Agroecologia – Universidade Estadual do Maranhão. (Dissertação). 66 p.
- 640 Streck, C. A; Reinert, D. J.; Reichert, J. M; & Kaiser, D. R. (2004). Modificações em  
 641 propriedades físicas do solo causada pelo tráfego induzido de um trator em plantio direto.  
 642 *Ciência rural*, n.34, p. 755-760.
- 643 Tedesco, M. J.; Gianello, C.; Bissani, C. A.; Bohem, H.; & Volkweis, S. J. (1995). *Análise  
 644 de solo, plantas e outros materiais*. (Boletim Técnico) 2 ed. Porto Alegre, Departamento de  
 645 solos, UFRGS, 174 p.
- 646 Wilson, M. G.; Sasal, M. C.; & Caviglia, O. P. (2013). Critical bulk density for a mollisol and  
 647 vertisol using least limiting water range: effect on early wheat growth, *Geoderma*, n. 192, p.  
 648 354-361.
- 649 Xie, Z.; Tu, S.; Shah, F.; Xu, C.; Chen, J.; Han, D.; Liu, G.; Li, H.; Muhammad, I.; & Cao, W.  
 650 (2016). Substitution of fertilizer -N by green manure improves the sustainability of yield in  
 651 double rice cropping system in south China, *Field crops research*, v. 188, p. 142-149.
- 652

## **ANEXO**

(Normas da revista *Acta Scientiarum. Agronomy*)

# Diretrizes para Autores

## POLÍTICA DE ACESSO ABERTO

Acta Scientiarum. Agronomy é publicada sob o modelo Acesso Aberto e permite a qualquer um a leitura e download, bem como a cópia e disseminação de seu conteúdo de acordo com as políticas de copyright Creative Commons Attribution 3.0.

## APCs (TAXA DE PROCESSAMENTO DE ARTIGO) E TAXA DE SUBMISSÃO

Acta Scientiarum. Agronomy não cobra aos autores qualquer tipo de taxa de submissão ou publicação.

## POLÍTICA CONTRA PLÁGIO E MÁS-CONDUTAS EM PESQUISA

Continuando nossa tradição de excelência, informamos as melhorias editoriais que visam fortalecer a integridade dos artigos publicados por esta revista. Em conformidade com as diretrizes do COPE (*Committee on Publication Ethics*), que visam incentivar a identificação de plágio, más práticas, fraudes, possíveis violações de ética e abertura de processos, indicamos:

**1. Os autores devem visitar o website do COPE <http://publicationethics.org>, que contém informações para autores e editores sobre a ética em pesquisa;**

**2. Antes da submissão, os autores devem seguir os seguintes critérios:**

- Com o objetivo de evitar a endogenia e diversidade dos autores publicados, exigimos que, após a publicação na revista, os autores aguardem, no mínimo, 1 ano até publicarem qualquer outro artigo no periódico.

- artigos que contenham aquisição de dados ou análise e interpretação de dados de outras publicações devem referenciá-las de maneira explícita;

- na redação de artigos que contenham uma revisão crítica do conteúdo intelectual de outros autores, estes deverão ser devidamente citados;

- todos os autores devem atender os critérios de autoria inédita do artigo e nenhum dos pesquisadores envolvidos na pesquisa poderá ser omitido da lista de autores;

- a aprovação final do artigo será feita pelos editores e conselho editorial.

**3. Para responder aos critérios, serão realizados os seguintes procedimentos:**

a) Os editores avaliarão os manuscritos com o sistema **CrossCheck** logo após a submissão. Primeiramente será avaliado o conteúdo textual dos artigos científicos, procurando identificar plágio, submissões duplicadas, manuscritos já publicados e possíveis fraudes em pesquisa;

b) Com os resultados, cabe aos editores e conselho editorial decidir se o manuscrito será enviado para revisão por pares que também realizarão avaliações;

c) Após o aceite e antes da publicação, os artigos poderão ser avaliados novamente.

## INSTRUÇÕES PARA SUBMISSÃO DE ARTIGOS:

**1.** *Acta Scientiarum. Agronomy*, ISSN 1807-8621 (on-line), é uma publicação contínua da Universidade Estadual de Maringá.

**2.** A revista publica artigos originais em todas as áreas relevantes da Agronomia, incluindo ciência do solo, entomologia agrícola, fertilidade do solo e adubação, física do solo, fisiologia de plantas cultivadas, fitopatologia, fitossanidade, fitotecnica, gênese, morfologia e classificação dos solos,

manejo e conservação do solo, manejo integrado de pragas das plantas, melhoramento vegetal, microbiologia agrícola, parasitologia agrícola e produção e beneficiamento de sementes.

**3.** Os autores se obrigam a declarar que seu manuscrito é um trabalho original, e que não está sendo submetido, em parte ou no seu todo, à análise para publicação em outro meio de divulgação científica sob pena de exclusão. Esta declaração encontra-se disponível no endereço: <http://periodicos.uem.br/ojs/index.php/ActaSciAgron/about/submissions>.

**4.** Os dados, ideias, opiniões e conceitos emitidos nos artigos, bem como a exatidão das referências, são de inteira responsabilidade do(s) autor(es). A eventual citação de produtos e marcas comerciais não significa recomendação de seu uso por parte do Conselho Editorial da revista.

**5.** Os relatos deverão basear-se nas técnicas mais avançadas e apropriadas à pesquisa. Quando apropriado, deverá ser atestado que a pesquisa foi aprovada pelo Comitê de Ética e Biossegurança da instituição.

**6.** Os artigos submetidos deverão ser em inglês.

**7.** Os artigos serão avaliados por, no mínimo, três consultores da área de conhecimento da pesquisa, de instituições de ensino e/ou pesquisa nacionais e estrangeiras, de comprovada produção científica. Após as devidas correções e possíveis sugestões, o artigo será aceito se tiver dois pareceres favoráveis e rejeitado quando dois pareceres forem desfavoráveis.

**8.** Os artigos deverão ser submetidos pela internet, acessando o **Portal ACTA**, no endereço <http://www.uem.br/acta>.

**9.** O conflito de interesses pode ser de natureza pessoal, comercial, política, acadêmica ou financeira. Conflitos de interesses podem ocorrer quando autores, revisores ou editores possuem interesses que podem influenciar na elaboração ou avaliação de manuscritos. Ao submeter o manuscrito, os autores são responsáveis por reconhecer e revelar conflitos financeiros ou de outra natureza que possam ter influenciado o trabalho. Os autores devem identificar no manuscrito todo o apoio financeiro obtido para a execução do trabalho e outras conexões pessoais referentes à realização do mesmo. O revisor deve informar aos editores quaisquer conflitos de interesse que poderiam influenciar sobre a análise do manuscrito, e deve declarar-se não qualificado para revisá-lo.

**10.** O texto em inglês dos artigos aceitos para publicação será submetido à correção do *American Journal Experts* e custeado pelos autores. (<http://www.journalexperts.com>).

**11.** Não serão aceitos manuscritos nos quais:

**a)** os experimentos de campo não incluam dados de dois anos ou de várias localidades dentro do mesmo ano;

**b)** a análise de dados obtidos de ambientes controlados seja limitada a apenas um experimento ou bioensaio, sem repetições durante o período;

**c)** os experimentos se refiram a apenas testes sobre a atividade de produtos químicos ou biológicos contra agentes bióticos ou estresses fisiológicos;

**d)** os experimentos com cultura *in vitro* sejam limitados ao melhoramento dos protocolos padronizados de cultura ou os que não fornecem novas informações no campo;

**e)** seus objetivos sejam limitados a registrar a primeira ocorrência de um organismo nocivo ao sistema ecoagrícola ou um estudo básico sobre os parâmetros biológicos do organismo sem uma definida indicação de como esse conhecimento poderia melhorar o manejo da praga no contexto local ou regional.

**12.** Estão listadas abaixo a formatação e outras convenções que deverão ser seguidas:

- a)** No processo de submissão, deverão ser inseridos os **nomes completos dos autores** (no máximo oito), **número identificador (ID) do ORCID**, seus endereços institucionais e o **e-mail** do autor indicado para correspondência.
- b)** Os artigos deverão ser subdivididos com os seguintes subtítulos: *Abstract*, *Keywords*, Introdução, Material e métodos, Resultados e/ou Discussão, Conclusão, Agradecimentos (opcional) e Referências. Esses itens deverão ser em caixa alta e em negrito e não deverão ser numerados.
- c)** O título, com no máximo vinte palavras, deverá ser preciso. Também deverá ser fornecido um título resumido com, no máximo, seis palavras.
- d)** O *Abstract* (200 a 300 palavras), deverá conter informações sucintas sobre o objetivo da pesquisa, os materiais experimentais, os métodos empregados, os resultados e a conclusão. Até seis *keywords* (recomenda-se não utilizar as palavras do título) deverão ser acrescentadas ao final do *abstract*.
- e)** Os artigos deverão ter de 12 a 20 páginas digitadas, incluindo figuras, tabelas e referências. Deverão ser escritos em espaço 1,5 linhas e ter suas páginas e linhas numeradas. O trabalho deverá ser editado no *Word*, ou compatível, utilizando fonte *Times New Roman*, tamanho 12.
- f)** O trabalho deverá ser formatado em A4 e as margens inferior, superior, direita e esquerda deverão ser de 2,5 cm.
- g)** O arquivo contendo o trabalho que deverá ser anexado (transferido), durante a submissão, não poderá ultrapassar o tamanho de 2 MB, nem poderá conter qualquer tipo de identificação de autoria, inclusive na opção propriedades do *Word*.
- h)** Tabelas, figuras e gráficos deverão ser inseridos no texto, logo depois de citados.
- i)** As figuras e as tabelas não deverão ultrapassar 17 cm de largura.
- j)** As figuras digitalizadas deverão ter 300 dpi de resolução e preferencialmente gravadas no formato jpg ou png. Ilustrações em cores serão aceitas para publicação.
- k)** Deverá ser adotado o Sistema Internacional (SI) de medidas.
- l)** As equações deverão ser editadas utilizando o *Equation Built* do *Word*.
- m)** As variáveis deverão ser identificadas após a equação.
- n)** Recomenda-se que os autores realizem a análise de regressão para fatores quantitativos.
- o)** Artigos de revisão poderão ser publicados mediante convite do Conselho Editorial ou Editor-Chefe da Eduem.
- p)** A revista aceita um índice máximo de 5% de autocitações e, ainda, recomenda que oitenta por cento (80%) das referências bibliográficas sejam de artigos listados na base *ISI Web of Knowledge*, *Scopus* ou *SciELO* com menos de 10 anos. Recomenda-se dar preferência às citações de artigos internacionais. Não serão aceitas nas referências citações de monografias, dissertações e teses, anais, resumos, resumos expandidos, jornais, magazines, boletins técnicos e documentos eletrônicos.
- q)** As citações deverão seguir os exemplos abaixo, que se baseiam na norma da *American Psychological Association* (APA). Para citação no texto, usar o sobrenome e ano: Lopes (2005) ou (Lopes, 2005); **para dois autores**: Souza e Scapim (2005) ou (Souza & Scapim, 2005); **para três a cinco autores** (1.<sup>a</sup> citação): Venturieri, Venturieri, e Leopoldo (2013) ou (Venturieri, Venturieri, & Leopoldo, 2013) e, nas citações subsequentes, Venturieri et al. (2013) ou (Venturieri et al., 2013); **para seis ou mais autores**, citar apenas o primeiro seguido de et al.: Wayner et al. (2007) ou (Wayner et al., 2007).

## MODELOS DE REFERÊNCIAS

Deverão ser organizadas em ordem alfabética, alinhamento justificado, conforme os exemplos seguintes, que se baseiam na norma da *American Psychological Association* (APA). Os títulos dos periódicos deverão ser completos e não abreviados e em itálico, sem o local de publicação. As referências deverão conter o DOI.

### Artigos

#### Um autor

Oerke, E. C. (2006). Crop losses to pests. *Journal of Agricultural Science*, 144(1), 31-43. doi: 10.1017/S0021859605005708

**Dois a sete autores** (devem-se indicar todos os autores separados por vírgula, exceto o último que deve ser separado por vírgula seguido de &)

Caporusso, N. B., & Rolim, G. S. (2015). Reference evapotranspiration models using different time scales in the Jaboticabal region of São Paulo, Brazil. *Acta Scientiarum. Agronomy*, 37(1), 1-9. DOI: 10.4025/actasciagron.v37i1.18277

Achten, W. M. J., Verchot, L., Franken, Y. J., Mathijs, E., Singh, V. P., Aerts, R., & Muys, B. (2008) *Jatropha* bio-diesel production and use. *Biomass and Bioenergy*, 32(12), 1063-1084. DOI: 10.7763/ijbbb.2013.v3.215

**Oito ou mais autores** (devem-se indicar os seis primeiros, inserir reticências e acrescentar o último autor)

Soares, M. A., Leite, G. L. D., Zanuncio, J. C., Sá, V. G. M., Ferreira, C. S., Rocha, S. L., ... Serrão, J. E. (2012). Quality Control of *Trichogramma atropovirilia* and *Trichogramma pretiosum* (Hym.: Trichogrammatidae) adults reared under laboratory conditions. *Brazilian Archives of Biology and Technology*, 55(2), 305-311. DOI: 10.1590/s1516-89132012000200018

#### Livros

Falconer, D. S., & Mackay, T. F. C. (1996). *Introduction to quantitative genetics*. Edinburgh, SC: Addison Wesley Longman.

Kevan, P. G., & Imperatriz-Fonseca, V. L. (2006). *Pollinating bees: the conservation link between agriculture and nature* (2nd ed.). Brasília, DF: Secretariat for Biodiversity and Forests.

Parra, J. R. P. (1991). Consumo e utilização de alimentos por insetos. In A. R. P. Panizzi (Ed.), *Ecologia nutricional de insetos e suas implicações no manejo de pragas* (p. 9-65). São Paulo, SP: Manole.

**Prazo médio** entre submissão e publicação dos artigos publicados em 2016: 9 meses.

## Condições para submissão

Como parte do processo de submissão, os autores são obrigados a verificar a conformidade da submissão em relação a todos os itens listados a seguir. As submissões que não estiverem de acordo com as normas serão devolvidas aos autores.

1. A contribuição é original e inédita e não está sendo avaliada por outra revista.
2. Os arquivos para submissão estão em formato Microsoft Word, Open Office ou RTF (desde que não ultrapasse 2MB).
3. Todos os endereços de páginas da Internet, incluídas no texto (Ex: <http://www.eduem.uem.br>) estão ativos e prontos para clicar.

4. O texto está em empaço 1,5; usa uma fonte de 12-pontos Times New Roman; emprega itálico ao invés de sublinhar (exceto em endereços URL); com figuras e tabelas inseridas no texto, e não em seu final. No máximo **18** páginas.
5. O texto segue os padrões de estilo e requisitos bibliográficos em [Diretrizes para Autores](#), na seção Sobre a Revista.
6. A identificação de autoria deste trabalho foi removida do arquivo e da opção propriedades do Word, garantindo desta forma o critério de sigilo da revista, caso submetido para avaliação por pares (ex.: artigos), conforme instruções disponíveis em [Assegurando a Avaliação por Pares Cega](#).
7. No processo de submissão, deverão ser inseridos os nomes completos dos autores, número identificador do ORCID, seus endereços institucionais e o e-mail do autor indicado para correspondência.

## Declaração de Direito Autoral

### DECLARAÇÃO DE ORIGINALIDADE E DIREITOS AUTORAIS

Declaro que o presente artigo é original, não tendo sido submetido à publicação em qualquer outro periódico nacional ou internacional, quer seja em parte ou em sua totalidade.

Os direitos autorais pertencem exclusivamente aos autores. Os direitos de licenciamento utilizados pelo periódico é a licença Creative Commons Attribution 3.0 (CC BY 3.0): são permitidos o compartilhamento (cópia e distribuição do material em qualquer meio ou formato) e adaptação (*remix*, transformação e criação de material a partir do conteúdo assim licenciado para quaisquer fins, inclusive comerciais).

Recomenda-se a leitura [desse link](#) para maiores informações sobre o tema: fornecimento de créditos e referências de forma correta, entre outros detalhes cruciais para uso adequado do material licenciado.

## Política de Privacidade

Os nomes e endereços informados nesta revista serão usados exclusivamente para os serviços prestados por esta publicação, não sendo disponibilizados para outras finalidades ou à terceiros.